

# Projeto "Big Data"

Estimativa de matrizes de viagens rodoviárias regionais no Estado de São Paulo



# DE SÃO PAULO

Secretaria de Meio Ambiente, Infraestrutura e Logística

# **Equipe Técnica**

#### Subsecretaria de Logística e Transportes

Denis Gerage Amorim
Subsecretário

André Nozawa Brito Coordenador técnico

Karin Anne van de Bilt Especialista em modelagem

Paulo Celso Pinheiro Especialista em banco de dados

Mirian Miyuk Shirakawa Analista

#### **Atech - Grupo Embraer**

Marco A. A. Fidos Junior Gerente Técnico do Projeto

Fernando Antonialli Gestor do Projeto

Bernardo Alvim Especialista em Modelagem de Transportes

Carlos Magno Ribeiro Francisco Analista de Sistemas

> Denis Costa Garcia Analista de Sistemas

Fabio Conn Especialista em Modelagem de Transportes



# Projeto "Big Data"

Estimativa de matrizes de viagens rodoviárias regionais no Estado de São Paulo

# Projeto "Big Data"

Estimativa de matrizes de viagens rodoviárias regionais no Estado de São Paulo

### **Sumário**

1	INTRODUÇÃO	6
1.1	Objetivo do documento	6
2	DESCRIÇÃO DOS PRODUTOS	7
2.1	Elaboração de metodologia	7
	2.1.1 Conceitos básicos         2.1.2 Conceitos Básicos de Carregamento em Rede         2.1.3 Ajustamento das Condições iniciais dos Dados de Telefonia	10
2.2	Uso de dados adicionais – aquisição e preparação de dados	13
2.3	Complementação e atualização da rede	
3	MODELO E METODOLOGIA	18
3.1	Pressupostos teóricos	18
3.2	Procedimentos para aplicação do modelo teórico	20
	3.2.1 Roteiro do Procedimento	20
3.3	Descrição de aplicação e indicadores para avaliação dos resultados estatísticos calibrados	
	3.3.1 Resultados para veículos de passeio	26
4	RESULTADOS DO AJUSTAMENTO ESTATÍSTICO	31
4.1	Ajustamento Veículo Passeio	31
4.2	Ajustamento Veículo Comercial Leve	32
4.3	Ajustamento Veículo Comercial Pesado	33
4.4	Ajustamento Veículo Dia Útil	34
	4.4.1 Veículo Passeio	
	4.4.2 Veículo Comercial Leve	
4.5	Ajustamento Fim de Semana	
5	4.5.1 Veículo Passeio	
	4.5.2 Veículo Comercial Leve	36

4.6	Ajustamento Feriado	37
	4.6.1 Veículo Passeio	37
	4.6.3 Veiculo Contercial Pesado	30
5	OBTENÇÃO DAS MATRIZES	39
6	CUIDADOS ESPECÍFICOS	41
<u>List</u>	ta de figuras:	
FIGU	JRA 2-1: ESBOÇO DO CÁLCULO DO TRAÇO	12
FIGU	JRA 2-2: PEDÁGIOS FEDERAIS DO ESTADO DE SÃO PAULO	15
	JRA 2-3: CONCESSIONÁRIAS FEDERAIS E ESTADUAIS DO ESTADO DE SÃO PAL	
FIGL	JRA 2-4: PEDÁGIOS FORA DO ESTADO DE SÃO PAULO	16
	JRA 2-5: EXEMPLO DE FLOWBUNDLE	
	JRA 3-1 - PROCEDIMENTO DESENVOLVIDO	
	JRA 3-2: LOTES DE PRAÇAS DE PEDÁGIO	
	JRA 4-1: AJUSTE VEÍCULOS DE PASSEIO	
	JRA 4-2: CALIBRAÇÃO VEÍCULOS DE PASSEIO	
	JRA 4-3: AJUSTE VEÍCULOS COMERCIAIS LEVES	
	JRA 4-4: CALIBRAÇÃO VEÍCULOS COMERCIAIS LEVES	
	JRA 4-5: AJUSTE VEÍCULOS COMERCIAIS PESADOS	
	JRA 4-6: CALIBRAÇÃO VEÍCULOS COMERCIAIS PESADOS JRA 4-7: CALIBRAÇÃO VEÍCULOS DE PASSEIO – DIA ÚTIL	
	JRA 4-7: CALIBRAÇÃO VEÍCULOS DE PASSEIO - DIA UTIL JRA 4-8: CALIBRAÇÃO VEÍCULOS COMERCIAIS LEVES - DIA ÚTIL	
	JRA 4-9: CALIBRAÇÃO VEÍCULOS COMERCIAIS LEVES - DIA ÚTIL JRA 4-9: CALIBRAÇÃO VEÍCULOS COMERCIAIS PESADOS - DIA ÚTIL	
	JRA 4-9: CALIBRAÇÃO VEÍCULOS COMERCIAIS PESADOS - DIA OTIL JRA 4-10: CALIBRAÇÃO VEÍCULOS DE PASSEIO - FINAL DE SEMANA	
	JRA 4-11: CALIBRAÇÃO VEÍCULOS COMERCIAIS LEVES – FINAL DE SEMANA	
	JRA 4-12: CALIBRAÇÃO VEÍCULOS COMERCIAIS PESADOS - FINAL DE SEMANA	
	JRA 4-13: CALIBRAÇÃO VEÍCULOS DE PASSEIO - FERIADO	
	JRA 4-14: CALIBRAÇÃO VEÍCULOS COMERCIAL LEVE - FERIADO	
	JRA 4-15: CALIBRAÇÃO VEÍCULOS COMERCIAIS PESADOS – FERIADO	
	JRA 6-1: EXEMPLO DE VIÁRIO COMPLEMENTADO	
	JRA 6-2: EXEMPLO DE VIÁRIO A SER COMPLEMENTADO	
	JRA 6-3: EXEMPLO DE VIÁRIO ESPECÍFICO	

#### Lista de tabelas:

TABELA 2-1: EXTRATO MATRIZ DE LINK SELECIONADO DO PEDÁGIO	17
TABELA 3-1: AJUSTAMENTO VEÍCULOS DE PASSEIO	23
TABELA 3-2: TESTE DE ROBUSTEZ VEÍCULOS DE PASSEIO	24
TABELA 3-3: TESTE DE ENDOGENEIDADE VEÍCULOS DE PASSEIO	25
TABELA 3-4: TESTE DE SOBRE IDENTIFICAÇÃO VEÍCULOS DE PASSEIO	25
TABELA 3-5: TESTE VALIDADE DA EQUAÇÃO DE PRIMEIRO ESTÁGIO VEÍCULOS DE PASSEIO	25
TABELA 3-6: AJUSTAMENTO VEÍCULOS COMERCIAIS LEVES	26
TABELA 3-7: TESTE DE ROBUSTEZ VEÍCULOS DE COMERCIAIS LEVES	27
TABELA 3-8: TESTE DE ENDOGENEIDADE VEÍCULOS COMERCIAIS LEVES	27
TABELA 3-9: TESTE DE SOBRE IDENTIFICAÇÃO VEÍCULOS COMERCIAIS LEVES	27
TABELA 3-10: TESTE DE PRIMEIRO ESTÁGIO VEÍCULOS COMERCIAIS LEVES	28
TABELA 3-11: AJUSTAMENTO VEÍCULOS COMERCIAIS PESADOS	28
TABELA 3-12: TESTE DE ROBUSTEZ VEÍCULOS DE COMERCIAIS PESADOS	29
TABELA 3-13: TESTE DE ENDOGENEIDADE VEÍCULOS COMERCIAIS PESADOS	30
TABELA 3-14: TESTE DE SOBRE IDENTIFICAÇÃO VEÍCULOS COMERCIAIS PESADOS .	30
TABELA 3-15: TESTE DE PRIMEIRO ESTÁGIO VEÍCULOS COMERCIAIS PESADOS	30
TABELA 5-1: TIPOS DE DIAS AO LONGO DO PERÍODO EM ESTUDO	39

# 1 Introdução

O projeto denominado "Big Data" teve como um de seus principais objetivos a estimativa de matrizes de viagens rodoviárias regionais no Estado de São Paulo.

Os principais insumos para a obtenção dessas matrizes foram dados de rastreamento de movimentação de telefonia celular, para o período entre março de 2019 e fevereiro de 2020. O período de amostragem foi definido em 12 meses, tendo-se escolhido a janela temporal mais recente sem o efeito da pandemia de Covid-19.

As matrizes estimadas neste projeto serão importante fonte de informação para as modelagens a serem desenvolvidas no Plano de Logística e Investimentos, em estruturação pela Secretaria de Meio Ambiente, Infraestrutura e Logística.

### 1.1 Objetivo do documento

Este documento apresenta o relatório final de metodologia de calibração das Matrizes Origem-Destino de viagens regionais de veículos que utilizam as rodovias do Estado de São Paulo, estimadas no escopo do projeto "Big Data". O projeto tem como objetivo consolidar e registrar procedimentos metodológicos utilizados para desenvolvimento das atividades de calibração de matrizes origem-destino, utilizando tecnologias de big data e bases de dados de grande volume, em particular as bases de dados de movimentação de telefonia celular.

Além do processamento de dados, outras atividades adicionais foram conduzidas, como por exemplo:

- Avaliação de insumos para calibrações de matrizes Origem-Destino;
- Definição de parâmetros de avaliação qualitativos e quantitativos baseado em modelos anteriores de matrizes Origem-Destino existentes;
- Calibração de modelo de transportes utilizando dados processados pela ATECH em software de simulação de transportes (PTV-Visum).



# 2

# Descrição dos produtos

A descrição da elaboração do produto deste relatório está estruturada conforme as etapas apresentadas a seguir:

- Reuniões Realizadas
- Elaboração de Metodologia
  - Levantamento de dados
  - Complementação e atualização da rede
  - Modelo e metodologia final de cálculo de viagens por intermédio de deslocamento de celulares



#### **Escopo**

Foram utilizados os seguintes conjuntos de informação que serviram como a base principal para a calibração das matrizes:

- a) Rede de simulação e modelagem da Secretaria de Logística e Transportes em formato PTV-Visum;
- b) Dados de transações de telefonia (março de 2019);
- Dados de volume de tráfego das praças de pedágios, fornecidos pela ARTESP (março de 2019);
- Dados externos: população (2019), empregos (2019) e dados ANTT (volumes nas praças de concessões federais no estado de São Paulo, março de 2019).

# 2.1 Elaboração de metodologia

Este item apresenta a metodologia de Geração de Matriz OD a partir de deslocamentos de celulares detectados por informações de CDR – Registro Detalhado de Chamadas (Call Detail Record).

Para que se compreenda esta metodologia é necessário destacar alguns conceitos básicos apresentados a seguir.



#### 2.1.1.1 Viagem de Veículo

Viagem é uma transação realizada por uma ou mais pessoas em um veículo, que possui origem, destino, tempo, distância e motivos definidos, em que são transportados pessoas ou cargas, identificados tradicionalmente por entrevistas ou rastreio, associado a informações anexas transmitidas on-line.

O conjunto de viagens entre uma origem e destino consiste em fluxo que, somado a outros que compartilham um ponto comum em seus caminhos mínimos, determina o volume que solicita um trecho rodoviário ou link.

# 2.1.1.2 Deslocamento de celular por CDR – Registro Detalhado de Chamadas

É a transação realizada por um ou mais aparelhos celulares móveis em posse de uma pessoa, com origem e destino identificados por área de transmissão de torres de telefonia móvel, a cada intervalo entre pausas de movimentos maiores que 30 minutos.

A qualificação funcional da origem e destino é definida por inferência em função do tempo e horário e dispendido em cada local e as características dos usuários.

A informação obtida de operadora de telefonia móvel sobre estas transações implica em confusão de dados a fim de preservar o sigilo de informações específicas e busca homogeneizar os dados fornecidos com os dados de outros usuários que tenham o mesmo comportamento.

#### 2.1.1.3 Rede Rodoviária

Rede Rodoviária é aquela utilizada em planejamento estratégico da DERSA com detalhamento (granularidade) compatível com a identificação dos sistemas principal, secundário e vicinal estadual.

#### Definição de links, nós e zonas:

- A rede é composta por nós e links que representam a rede viária de transportes;
- Os links s\u00e3o as representa\u00f3\u00f3es das vias com a caracteriza\u00e7\u00e3o de cada uma delas de modo a representar os tempos de viagens e custos quando da sua utiliza\u00e7\u00e3o;
- Já os nós são as representações de entroncamentos entre as vias;



- As zonas são as representações da área espacial em que as pessoas têm sua origem ou seu destino da viagem. Suas características socioeconômicas (população, empregos etc.) são importantes para a determinação da atração e produção de viagens. As zonas são representadas por centroides na rede de transportes que são conectados à rede viária através de conectores, que fazem a ligação da demanda (matriz) com a rede;
- No presente estudo foram utilizadas 910 zonas, definidas pela equipe da SLT.

#### 2.1.1.4 Diferenças entre Transações e Viagens de Pessoas

Os dados de transações de deslocamento de celular não têm correspondência imediata com viagens, porque uma viagem de pessoa pode corresponder a mais de uma transação se houver uma ou mais pausas estacionárias superiores a 30 minutos durante o mesmo trajeto. Portanto é necessário proceder ajustes ou correções de forma a aproximar os dados de transações aos dados de viagem.

Essas correções serão feitas pela identificação de locais geradores que sejam "outliers" de produção e atração de viagens em relação à característica do Local Gerador, casa (C), trabalho (T) e outro (O). As colunas simétricas serão corrigidas de forma análoga.

#### 2.1.1.5 Finalidade/Motivo da Origem e do Destino

No estudo foram identificadas as atividades em relação ao Local Gerador relativas à casa, trabalho e outros. O Local Gerador influencia na geração de viagens e tem tratamento diferenciado quando da análise dos dados de telefonia móvel para a calibração da matriz OD.

### 2.1.1.6 Regime de Atividade

No estudo foram identificados os diferentes tipos de dias em útil, finais de semana e feriados. Cada um dos tipos de dias influencia na geração de viagens e tem tratamento diferenciado quando da análise dos dados de telefonia móvel para a calibração da matriz OD.

#### 2.1.1.7 Classe de veículo

Os veículos foram divididos em três classes:

- Passeio: contendo os automóveis, caminhonetes, utilitários e motos;
- Caminhões leves: contendo os caminhões de 2 eixos e 3 eixos;
- Caminhões pesados: contendo os veículos de 4 eixos ou mais.



#### 2.1.1.8 Praças de Pedágios

As praças de pedágios são um elemento importante para a calibração da rede de transporte e da matriz OD, pois têm peso nos custos da rede de transporte. Devido a sua necessidade de controle (arrecadação das concessionárias), seus dados volumétricos são extremamente confiáveis. Os volumes das praças de pedágio serão utilizados como balizador e aferição do modelo.

#### 2.1.2 Conceitos Básicos de Carregamento em Rede

O carregamento de uma rede de transporte é obtido com o cálculo de todos os fluxos de cada um dos links que representam as vias através da alocação das matrizes de transporte nesta rede.

O fluxo (ou volume) é definido pelo número de veículos que passa por uma determinada seção (ou faixa) de uma via por unidade de tempo de observação, sendo usualmente expresso em veículos por hora ou por dia. Neste projeto os cálculos de carregamento são diários referentes ao volume de cada seção da via.

Para a alocação na rede de transporte, foi utilizado o princípio do custo generalizado, onde a impedância é definida pelos tempos gastos em cada link da rede e seus custos que são transformados em tempo.

Para a alocação usou-se o módulo "Tribut" do PT-Visum, utilizado na elaboração do PAM-TL (Plano de Ação de Transporte e Logística para a Macrometrópole Paulista) que através dos valores do tempo, transforma os custos de transporte em reais, em impedâncias de tempos. A grande vantagem desse método é que ele considera uma curva de distribuição do valor do tempo, contemplando o valor médio do tempo e sua dispersão.

Foram considerados os custos quilométricos, relativos a custos de gasolina, óleos, pneus e etc. e os valores do tempo obtidos no estudo do PAMTL.

Foi considerado o valor médio do tempo para veículos da classe C para representar os veículos de telefonia. Como se trata de um valor médio de todas as classes esse valor foi atualizado e aplicado para caminhões leves e realizada a estimativa para caminhões pesados. Foi considerado valor de R\$ 44,18 com dispersão de R\$0,14 para automóveis e caminhões leves, e para caminhões pesados, R\$ 88,36 com dispersão de R\$0,14.

Os valores quilométricos do PAM-TL, para representação dos custos de combustível, óleo, pneus e demais custos que variam conforme a extensão do trajeto, foram atualizados para o presente projeto, utilizando R\$0,50 para automóveis, R\$ 1,00 para caminhões leves e R\$ 2,00 para caminhões pesados.



O consumo de insumos para rodagem dos veículos sofre uma variação nos diversos tipos de rodovias, levando em consideração suas características, pista simples ou dupla e vias rurais e urbanas. Para representar esta variação foi inserido uma componente de fator de custo (FAT\_CUST).

```
Custo (R$) por Link = [PEDAGIO_TAR2019]+CustKM*[LENGTH]*[FAT_CUST]

Sendo:

Pedágio_TAR2019, tarifa de pedágio 2019;

CustKM = Custo quilométrico para cada uma das categorias;

LENGTH = Extensão do link; e

FAT_CUST= Fator de custo para diferentes vias. Adotando 1,00 para Freeway; 1,05 para Pista Dupla; 1,20 para Pista Simples; e 1,30 para Urbanas e não pavimentadas.
```

#### O custo generalizado é representado por:

Custo Generalizado (min) = Tempo Total(min) + Custo (R\$) transformado em tempo (min)

# 2.1.2.1 Fórmula utilizada para determinação do volume de tráfego de um determinado link da rede de transportes:

#### Volume de tráfego de determinado link da rede

Fórmula:

```
VV_{P, CV, RA, ANO, MES, PD} = Tr[ML_{P}, QT_{RA, ANO, MES, PD, CR, MOT_OD},]. CA CR, MOT_OD
```

#### Onde:

- VV<sub>P, RA, ANO, MES, PD</sub> é o volume de classes de veículo (CV) que passa pelo pedágio (P) em um determinado período de tempo (ANO, MES, PD) para determinado regime de atividade diária (RA), podendo ser RA dia útil, final de semana e feriado.
- Tr [ . ] traço do produto entre a matriz de link selecionado do pedágio e a matriz de transações de deslocamento de celular;
- ML<sub>P</sub> é a matriz de link selecionado correspondente ao pedágio (P);



- QT<sub>RA, ANO, MES, PD, CR, MOT\_OD</sub> são as matrizes de transações de deslocamentos de celular desagregadas por regime de atividade, ano, mês, período diário, classe de renda, motivo origem e destino;
- [CA CR, MOT\_OD] são os vetores de coeficientes estimados estatisticamente por regressão aplicada sobre a amostra aleatória de dados correspondente a 4% do volume mensal, ou seja, um dia útil equivalente e aplicada quanto ao método de variáveis instrumentais, conforme será explicado adiante.

A Figura a seguir mostra o cálculo para se obter o traço do produto entre a matriz de link selecionado do pedágio e a matriz de transações de deslocamento de celular.

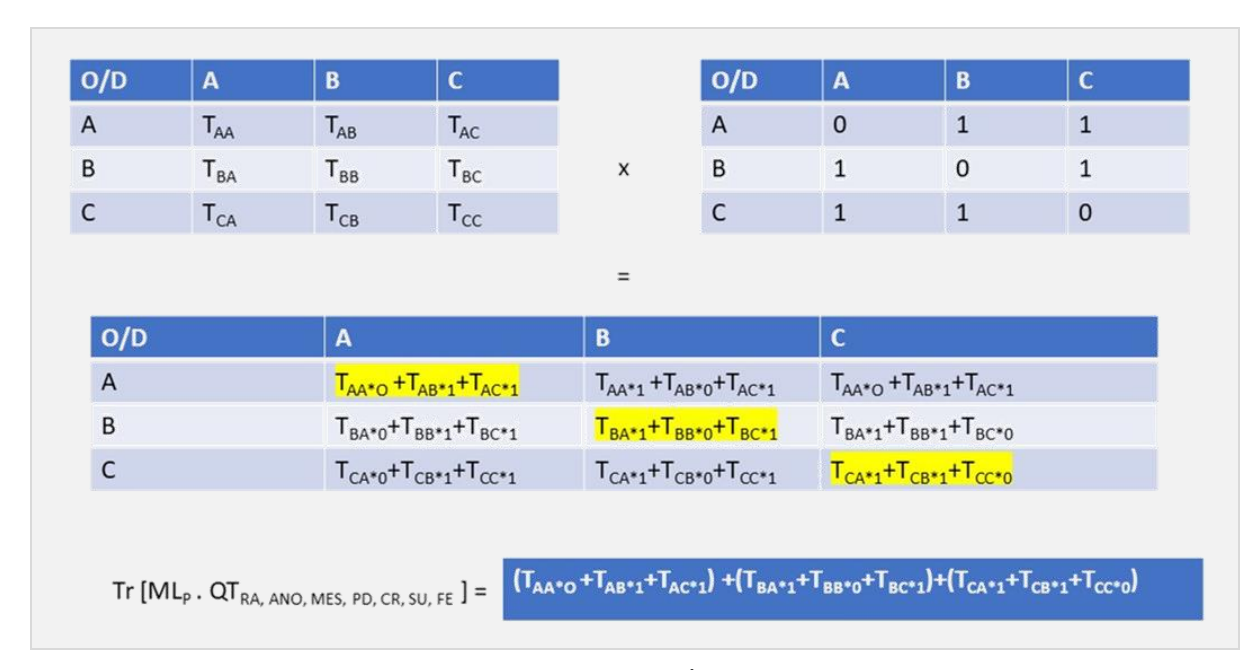


Figura 2-1: Esboço do Cálculo do Traço

### 2.1.3 Ajustamento das Condições iniciais dos Dados de Telefonia

Nesta fase do trabalho foram ajustadas as transações de deslocamento de aparelhos móveis para refletir fluxos de veículos, e para que se possa gerar a matriz origem e destino ao final dos trabalhos.

- a) Determinação do tráfego de veículos nos pedágios por Regime de Atividade e classe de veículo (VV<sub>P, CV, RA, ANO, MES, PD</sub>);
- b) Determinação das matrizes de links selecionados de pedágio (ML<sub>P</sub>);
- c) Determinação das quantidades de transações por atributos de usuários (QT<sub>RA, ANO, MES, PD, CR, MOT\_OD</sub>);



- d) Processamento das transações de deslocamento de celulares e matrizes de links selecionados de cada pedágio para identificação do Traço da Matriz (Tr [ML<sub>P</sub>. QT<sub>RA, ANO, MES, PD, CR, MOT OD</sub>]) referente a cada período, regime de atividade diária;
- e) Identificação das variáveis dependentes (volumes de pedágio) e independentes, volumes de transações por atributo explicativo de usuário;
- f) Aplicação de regressão sobre a amostra de março e obtenção do vetor de coeficientes (CA <sub>CR, MOT\_OD</sub>);
- g) Treinamento da regressão para o universo de dados dos demais meses de e obtenção dos vetores finais de coeficientes (CF<sub>CR, MOT\_OD</sub>);
- h) Aplicação dos vetores CF<sub>S</sub> sobre os dados totais de telefonia de cada segmento de transações para geração das matrizes de veículos por segmento;
- i) Obtenção das Matrizes por Classe de Veículos.

# 2.2 Uso de dados adicionais – aquisição e preparação de dados

Para ajustes do modelo de simulação de transportes foi necessário realizar atividades adicionais para a obtenção de dados extras, complementares aos dados existentes, e processamento destes dados.

Foram necessários os seguintes tipos de dados:

- Emprego;
- População;
- Pedágios ANTT do Estado de São Paulo, fora da concessão da ARTESP.

Os dados de população foram obtidos no site do IBGE e foram utilizados os dados da população estimada para 2019, obtidos no link:

- https://www.ibge.gov.br/#
- Gerando o arquivo 4 Dados Externos\estimativa\_dou\_2019.xls:

Os dados de empregos foram obtidos no site do ministério do trabalho e foram utilizados os dados de empregos formais por município em 2019, obtidos no link:

- https://bi.mte.gov.br/scripts10/dardoweb.cgi
- Gerando o arquivo 4 Dados Externos\consulta31939332.csv:

Os dados de empregos e população foram tabulados para a correspondência das zonas.

Gerando o arquivo 4 - Dados Externos\Consolidado\_Emp\_pop2019.xlsx:

Foram obtidos os dados de volume de veículos das praças de pedágio federais (ANTT) instaladas no Estado de São Paulo de 2019, obtidos no link:



- https://dados.antt.gov.br/dataset/volume-trafego-praca-pedagio
- Gerando o arquivo 4 Dados Externos\ volume\_praca\_2019.csv.

Foram pesquisadas as tarifas das praças de Pedágio para 2019. As tarifas das praças da ARTESP estão contidas no arquivo "TARIFAS DE PEDAGIO-2019.pdf", obtido no SIC da ARTESP, no link:

- http://www.artesp.sp.gov.br/Shared%20Documents/TARIFAS%20DE%20PEDAGIO-2019.pdf
- O arquivo está na pasta do arquivo 4 Dados Externos\TARIFAS DE PEDAGIO-2019.pdf.

### 2.3 Complementação e atualização da rede

Foi realizada a revisão da rede de transportes, em uso pela SLT, utilizando o software PTV-Visum com ajustes de pares de ligação de centroide, ajuste das tarifas de pedágio 2019 e revisão do viário principal. Esta rede foi complementada com as praças de pedágio fora da jurisdição da ARTESP, tanto dentro do estado quanto fora dele.

As seguintes praças das concessionárias federais presentes no estado foram posicionadas na rede:

- Autopista Fernão Dias;
- Autopista Regis Bittencourt;
- NovaDutra;
- Transbrasiliana.

A complementação ocorreu através do uso das funções de edição de links e nós do PTV-Visum. As praças de pedágio dentro do Estado de São Paulo já possuíam as posições corretas, necessitando o valor da tarifa.

A Figura **2-2** mostra a localização das praças na rede do PTV-Visum das quatro concessionárias federais, sob jurisdição da ANTT, presentes no estado de São Paulo.





Figura 2-2: Pedágios Federais do Estado de São Paulo

Na Figura **2-3** a seguir pode-se visualizar as concessionárias federais em contraste com as estaduais dentro do estado de São Paulo.

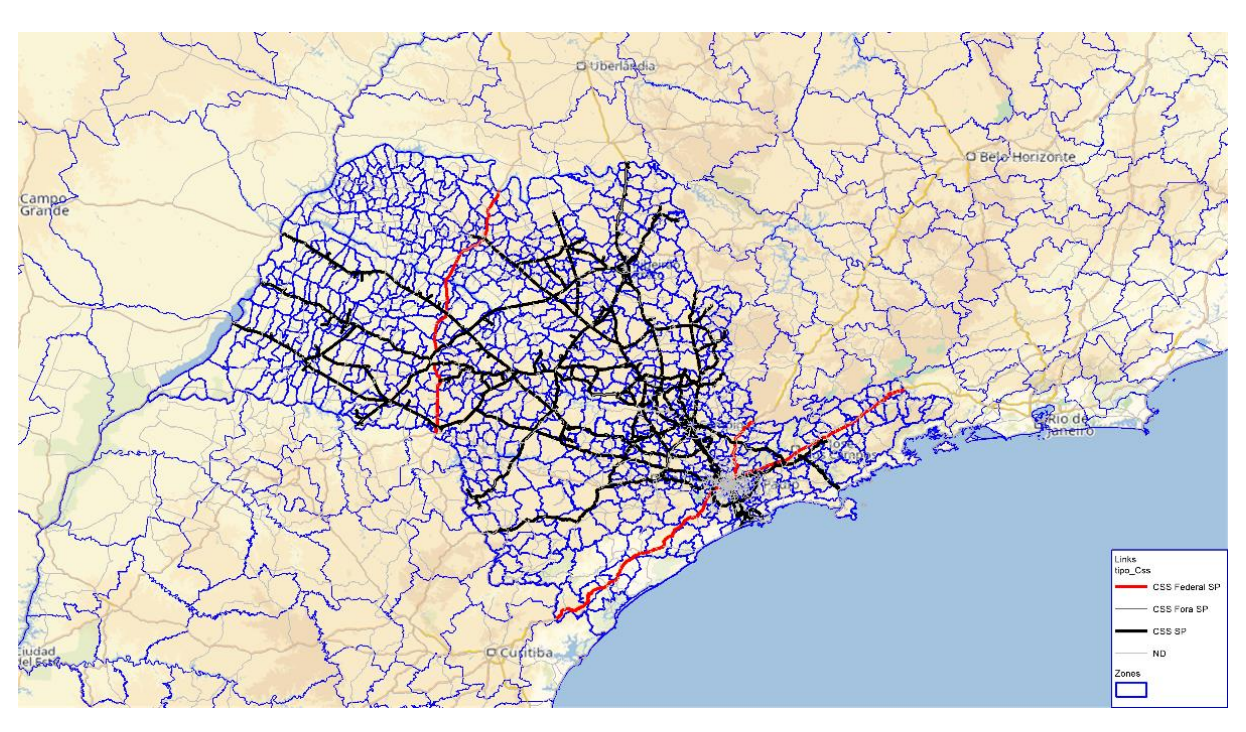


Figura 2-3: Concessionárias Federais e Estaduais do Estado de São Paulo

Foram acrescentadas as praças de pedágio fora do estado de São Paulo, com suas respectivas tarifas. A Figura **2-4** mostra Pedágios Fora do Estado de São Paulo.





Figura 2-4: Pedágios Fora do Estado de São Paulo

Com a rede ajustada foi possível criar as matrizes de passagem pelas praças de pedágio. Foi criada uma matriz unitária para todos os pares das zonas possíveis e alocada. Através do processo de análise de seleção de link, chamado de "FlowBundle" no software PTV-Visum, foi gerada uma matriz de passagem para cada praça PTV-Visum.

A Figura 2-5 mostra uma análise de seleção no link.

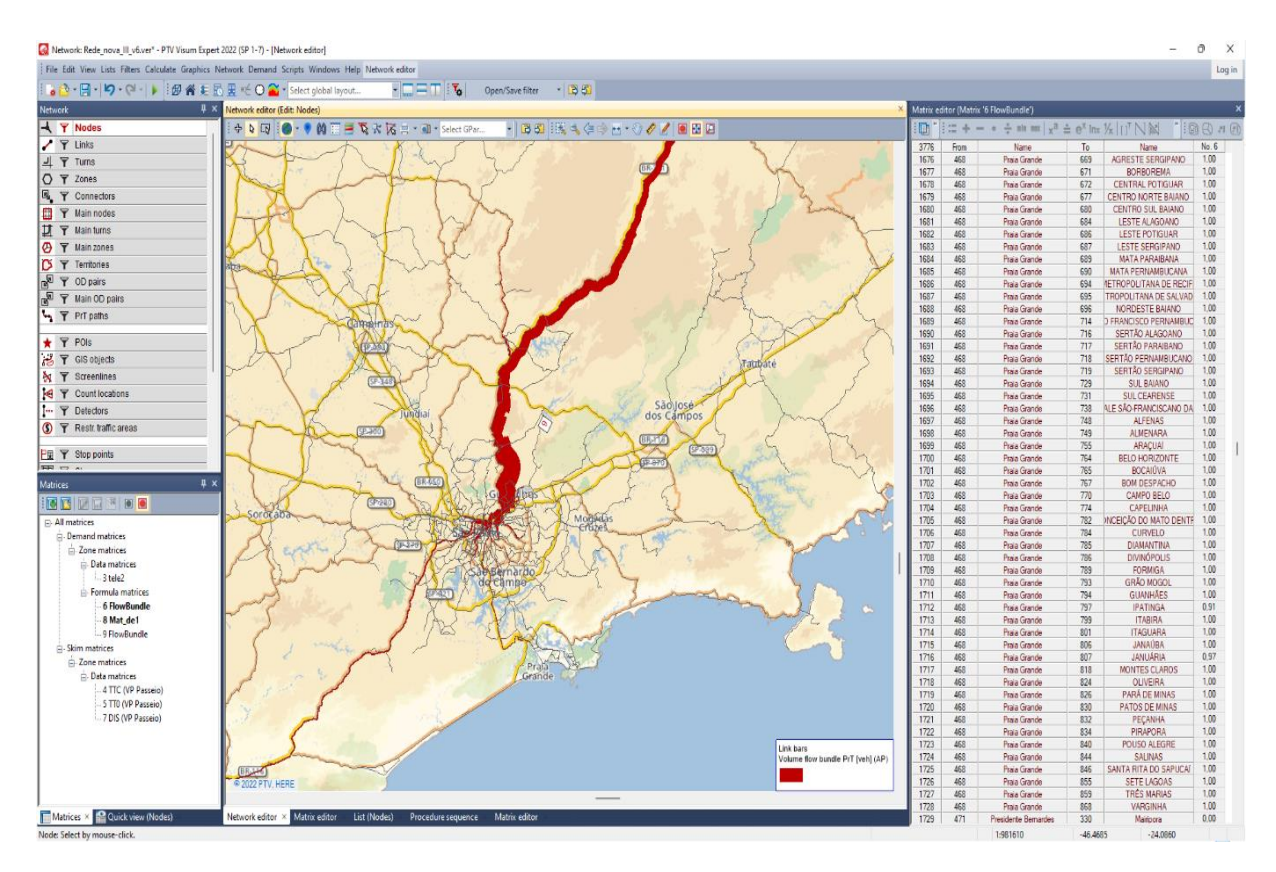


Figura 2-5: Exemplo de FlowBundle



Com a junção de diversas matrizes foi elaborada uma planilha com os pares OD que passam nas praças e comparada com os volumes classificados das praças. Esta é uma das entradas do modelo e quando da sua finalização será montado o método para replicar esta tarefa.

Tabela 2-1: Extrato matriz de link selecionado do pedágio

	P		Lote_sele	L1								
	е	Concessio	CSS	Autoban								
	d	Pedagio	Praça	SP 330-26	SP 330-26	SP 330-82	SP 330-82	SP 330-118	SP 330-118	SP 330-152	SP 330-152	SP 348-36
	a o	Sentido	Sentido	2	1	2	1	2	1	2	1	2
	i		cod_praça	SP 330-26-	SP 330-26-	SP 330-82-	SP 330-82-	SP 330-118	SP 330-118	SP 330-152	SP 330-15	SP 348-36-
	О		codPraca2	1001	1002	1003	1004	1005	1006	1007	1008	1009
	S											
0	D	Key	Distancia	Ped1001	Ped1002	Ped1003	Ped1004	Ped1005	Ped1006	Ped1007	Ped1008	Ped1009
11	393	11-393	77,797	0	0	0	0	0	0	0	0	0
142	393	142-393	154,457	0	0	0	0	0	0	0	0	0
211	1	211-1	326,229	0	0	0	0	0	0	0	0	0
211	. 2	211-2	164,568	0	0	0	0	0	0	0	0	0
211	10	211-10	393,926	0	0	0	0	0	0	0	0	0
211	13	211-13	220,991	0	0	0	0	0	0	0	0	0
211	16	211-16	377,802	0	0	0	0	0	0	0	0	0
211	17	211-17	277,822	0	0	0	0	0	0	0	0	0
211	18	211-18	334,21	0	0	0	0	0	0	0	0	0
211	24	211-24	333,996	0	0	0	0	0	0	0	0	0
211	27	211-27	380,916	0	0	0	0	0	0	0	0	0
211	32	211-32	262,332	0	0	0	0	0	0	0	0	0

a seguir é apresentado um extrato da planilha de passagem nas praças por par Origem e Destino.

Tabela 2-1: Extrato matriz de link selecionado do pedágio

		Р		Lote_sele	L1								
		е	Concessio	CSS	Autoban								
		d	Pedagio	Praça	SP 330-26	SP 330-26	SP 330-82	SP 330-82	SP 330-118	SP 330-118	SP 330-152	SP 330-152	SP 348-36
		d σ	Sentido	Sentido	2	1	2	1	2	1	2	1	2
		i		cod_praça	SP 330-26-	SP 330-26-	SP 330-82-	SP 330-82-	SP 330-118	SP 330-118	SP 330-152	SP 330-15	SP 348-36-
		О		codPraca2	1001	1002	1003	1004	1005	1006	1007	1008	1009
		S											
0		D	Key	Distancia	Ped1001	Ped1002	Ped1003	Ped1004	Ped1005	Ped1006	Ped1007	Ped1008	Ped1009
	11	393	11-393	77,797	0	0	0	0	0	0	0	0	0
	142	393	142-393	154,457	0	0	0	0	0	0	0	0	0
	211	1	211-1	326,229	0	0	0	0	0	0	0	0	0
	211	2	211-2	164,568	0	0	0	0	0	0	0	0	0
	211	10	211-10	393,926	0	0	0	0	0	0	0	0	0
	211	13	211-13	220,991	0	0	0	0	0	0	0	0	0
	211	16	211-16	377,802	0	0	0	0	0	0	0	0	0
	211	17	211-17	277,822	0	0	0	0	0	0	0	0	0
	211	18	211-18	334,21	0	0	0	0	0	0	0	0	0
	211	24	211-24	333,996	0	0	0	0	0	0	0	0	0
	211	27	211-27	380,916	0	0	0	0	0	0	0	0	0
	211	32	211-32	262.332	0	0	0	0	0	0	0	0	0



# Modelo e metodologia

Modelo e metodologia de cálculo de viagens por intermédio de deslocamento de celulares

#### 3.1 Pressupostos teóricos

A escolha do modelo a ser perseguido para determinação da relação entre transações de celulares envolve a definição do método para cálculo do vetor de coeficientes. Esta relação pode ser definida pela fórmula abaixo:

$$^{
m VV}$$
P, CV, RA, ANO, MES, PD = Tr [MLP. QTRA, ANO, MES, PD, CR, MOT\_OD]. CA CR, MOT\_OD

#### Onde:

- VV<sub>P, RA, ANO, MES, PD</sub> é o volume por classes de veículo (CV) que passa pelo pedágio
   (P) em um determinado período de tempo (ANO, MES, PD) para determinado regime de atividade diária (RA);
- Tr [ . ] traço do produto entre a matriz de link selecionado do pedágio e a matriz de transações de deslocamento de celular;
- lacksquare  $\mathrm{ML}_{\mathrm{p}}$  é a matriz de link selecionado correspondente ao pedágio(P);
- QT<sub>RA</sub>, ANO, MES, PD, CR, MOT\_OD é a matriz de quantidade transações que passa pelo pedágio (P) em um determinado período de tempo (ANO, MES, PD) para determinado regime de atividade diária (RA).

Para proceder este cálculo considerou-se uma equação da forma:

$$y_1 = \alpha_1 \cdot y_2 + \delta_0 + \delta_1 \cdot x_1 + \dots + \delta_k \cdot x_k + \partial_1 \cdot z_1 + \dots + \partial_n \cdot z_n + u$$



#### Onde:

- $y_1 = VV_P$ , MÊS, PD (corresponde a uma amostra de 4% ou um dia útil equivalente médio por mês;
- $y_2$  = QT MES, PD, CR, MOT OD considera-se  $y_2$  variável endógena;
- Z<sub>n</sub> = variáveis explicativas independentes;
- $y_2 = F(x_1, ..., x_k, z_1, ..., z_n)$  = variável endógena representada como função F(.) de variáveis gravitacionais referentes a distância entre origem e destino de transações e intensidade de população e emprego nas zonas de origem e destino de transações de celular;
- $\partial_1 \cdot z_1 + ... + \partial_n \cdot z_n$  = variáveis dummy características dos pedágios e dos meses considerados na regressão.

Nesta metodologia de variáveis instrumentais considera-se que QT está significativamente correlacionada com a parcela de erro u que é um elemento desconhecido. Isto assim procede porque tanto o volume de pedágio quanto a quantidade de transações que passam pelo pedágio acontecem simultaneamente. A variável QT é então considerada uma variável endógena.

Para eliminar este problema pode-se aplicar variáveis instrumentais, porque este método elimina a correlação entre o termo de erro u e as variáveis independentes, de fato a variável endógena passa a ser representada por uma função F com erro  $v \neq u$ . Para realizar estimativas de variáveis instrumentais, precisamos ter instrumentos que são (a) não correlacionados com u mas (b) parcialmente e suficientemente fortemente correlacionados com v2 uma vez que as outras variáveis independentes são controladas.

Na prática, podemos testar o segundo requisito (b), mas não podemos testar o primeiro requisito (a) porque u não é observável. Para testar o segundo requisito (b), precisamos expressar uma equação de forma reduzida de  $y_2$  com todas as variáveis exógenas. As variáveis exógenas incluem todas as variáveis independentes que não estão correlacionadas com o termo de erro e a variável instrumental, z. A equação da forma reduzida para  $y_2$  é:

$$y_2 = \delta_0 + \delta_1 \cdot z_1 + \dots + \delta_k \cdot z_k + \partial_1 \cdot z_1 + \dots + \partial_n \cdot z_n + v$$

Sendo que o requisito (b) será atendido se  $\delta_z$  e  $\partial_n$  se apresentarem como estatisticamente significativos.

Este método foi aplicado aos dados obtidos de amostra aleatória de 4% de transações de deslocamento de aparelhos celulares sobre 4% dos volumes de veículos observados em 2455 estatísticas mensais de volume pedágios apurados no ano de 2019, abrangendo os sistemas estadual e federal de concessão.



O Software utilizado foi o STATA/BE 17.0 por intermédio da função ivregress 2SLS que consiste em Regressão Linear em 2 estágios.

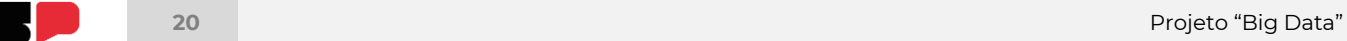
Os resultados se mostraram promissores para aplicação no universo de pedágios do estado de São Paulo e para o período de março a dezembro de 2019. Os scripts são apresentados em anexo e já foram encaminhados à SLT.

### 3.2 Procedimentos para aplicação do modelo teórico

O roteiro dos procedimentos para Cálculo da Matriz O/D de veículos a partir de dados de telefonia foi construído conforme apresentado no algoritmo abaixo. Os títulos entre aspas (".") referem-se a exemplos fornecidos em relatórios anteriores.

#### 3.2.1 Roteiro do Procedimento

- a) Variando mês de março de 2019 a dezembro de 2019
  - i. Os arquivos de telefonia "03\_201903\_telefonia\_consolidado.xlsx" são importados pelo software STATA onde se procede a divisão em 25 amostras iguais com a função "splitsample" gerando o arquivo "f2019\_03\_004.xlsx".
  - ii. O arquivo de amostra de transações de telefone "f2019\_#mes#\_004.xlsx" gerado no passo anterior é colado na planilha 'mar' nas colunas A - K no arquivo "f2019\_03\_004\_aux\_mar19\_L1.xlsx".
- b) Variando Lote de pedágio de 1 a 10:
  - i. O arquivo Flow\_L1.xlsx é o select link analysis do lote1 é colado na planilha 'Lote1' no arquivo "f2019\_03\_004\_aux\_mar19\_L1.xlsx";
  - ii. A planilha 'mar' do arquivo "f2019\_03\_004\_aux\_mar19\_L1.xlsx" são selecionados os pares O/D que passam pelo Lote 1 e possuem transações de celular que são colados como valores na planilha 'base' do arquivo "f2019\_03\_004\_aux1\_L3.xlsx";
  - iii. Os valores totais de variáveis dependentes e independentes do Lote1 são calculados e consolidados na planilha 'mar\_2019\_L03' do arquivo "f2019\_03\_004\_aux1\_L3.xlsx".
  - iv. Os valores gerados planilha 'mar 2019 L03' do arquivo na "f2019\_03\_004\_aux1\_L3.xlsx" são consolidados no arquivo "InputStata\_final.dta.xlsx" onde é calculado o modelo de regressão de variáveis instrumentais para cada tipo de veículo, gerando resultados em STATA.





- c) Aplicação dos fatores da equação de conversão sobre os dados de transação de telefones celulares EXCEL. "sub\_matriz\_pedagio\_anual\_Mar.xlsx"
- d) Correção das matrizes origem e destino para variáveis dummy de lotes e meses EXCEL/VI-SUM. Obtenção das matrizes preliminares de dia útil, final de semana e feriado mensal "sub\_matriz\_pedagio\_anual\_Mar.xlsx"
- e) Obtenção das matrizes mensais corrigidas finais, por tipo de veículo EXCEL. Aplicação do peso de dia útil, feriado e final de semana em cada mês para obtenção da matriz média anual de cada uma das categorias diárias.
- f) Obtenção das matrizes B por tipo de veículo e matrizes A gerais por regime de atividade.
- g) Alocação em rede VISUM.

O Fluxograma a seguir apresenta o procedimento desenvolvido:

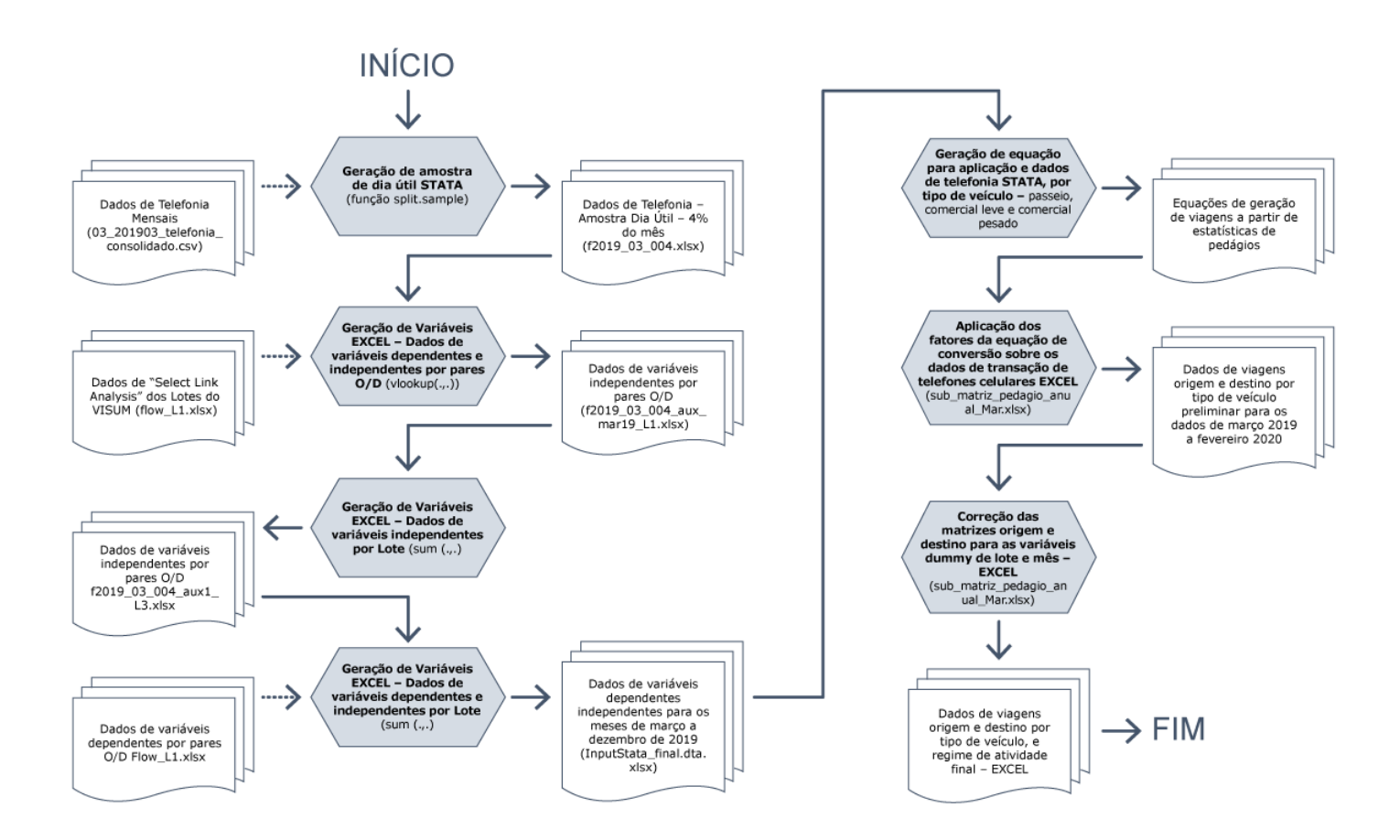


Figura 3-1 - procedimento desenvolvido



# 3.3 Descrição de aplicação e indicadores para avaliação dos resultados estatísticos calibrados

#### a) Sumário de Aplicação:

As transações de celulares são estimadas em um primeiro estágio em uma regressão linear múltipla de mínimos quadrados ordinários.

As variáveis independentes instrumentais deste primeiro estágio foram construídas a partir de dados da geografia e socio economia e não têm o mesmo erro compartilhado por viagens de veículo e transações de celular.

A variável endógena de transações de celular é então estimada neste primeiro estágio, obtendo um erro diferente daquele erro primariamente compartilhado com as viagens de veículos.

A variável endógena junta-se a outras variáveis independentes de caráter idiossincrático (dummies) especificadas pelo lote e mês em que se realizaram viagens e transações.

#### b) Indicadores de Calibração:

A equação de segundo estágio é então calculada fornecendo informações sobre o ajustamento, robustez dos coeficientes estimados, e testes de endogeneidade e viés de estimativa no primeiro estágio.

- Os parâmetros gerais de calibração visam obter uma avaliação geral do ajustamento pelas estatísticas "F" e "R²" e da robustez dos coeficientes obtidos;
- O teste de Bootstrap indica se a amostra coletada de 4% das transações de celulares foi suficientemente representativa, de forma a fornecer coeficientes robustos e significativos para um total de 2000 replicações de ajustamento para amostragem com reposição;
- O teste de endogeneidade identifica se há evidências para se considerar que as variáveis de transações de celulares apresentam endogeneidade em relação a viagens de veículos de passeio, comerciais leves e comerciais pesados por meio dos testes de Durbin (chi2) e Wu-Hausman F;
- O teste sobre identificação visa garantir que as variáveis instrumentais não estejam correlacionadas com o erro estrutural, por meio dos testes de Sargan (chi²), Basmann (chi²);
- O teste de Primeiro Estágio visa identificar se as variáveis instrumentais estão correlacionadas com a variável endógena ou se fornecem uma estimativa viesada desta.



#### 3.3.1 Resultados para veículos de passeio

#### a) Ajustamento do Modelo:

A seguir é apresentada a **Tabela 3-1** com o resultado obtido através do software STATA para os veículos de passeio.

Instrumental variables 2SLS regression Number of obs 2,455 Wald chi2(18) Prob > chi2 R-squared 2618.57 0.0000 0.5391 Coefficient Std. err. [95% conf. interval] CR\_ABCD dum\_m4 dum\_m5 1.483492 2196.065 773.3994 .060319 853.6307 852.5416 24.59 -2.57 0.91 1.365269 -3869.15 -897.5515 0.000 0.010 1.601715 522.9795 2444.35 0.364 dum\_m6 dum\_m7 dum\_m8 -2595.545 -1321.301 1350.245 854.1949 868.3754 851.7935 -3.04 -1.52 1.59 0.002 0.128 0.113 -4269.737 -3023.286 -319.2399 -921.3541 380.6835 3019.729 dum\_m9 dum\_m10 1548.066 2482.149 852.7454 854.2119 1.82 2.91 0.069 0.004 -123.2842 807.9243 3219.416 4156.373 dum\_m11 dum\_12 dum\_13 dum\_14 dum\_15 dum\_16 0.650 0.000 0.000 -385.8297 850.3482 -0.45 -2052.482 1280.822 -9.45 -9.97 -5.47 -11.53 -12.53 -9.86 -10672.81 -5493.408 1070.217 1004.011 -12770.4 -7461.233 -8575.224 -3525.583 -11005.73 -12617.56 -10606.13 954.6917 1006.99 1076.069 -12876.89 -14591.22 -12715.19 0.000 -9134.565 0.000 -10643.9 -8497.075 dum\_17 dum\_18 dum\_19 dum\_110 \_cons 0.000 0.000 0.000 -10491.34 -10405.56 -11196.04 -12557.03 1053.942 -11.91 -14622.72 -12446.1 -13235.61 -14486.64 -15275.18 -11.95 1040.616 -12.72 -3966.132 1081.442 0.000 6085.72 -1846.544 11475.83 1144.011 10.03 0.000 9233.668 13718.05 Instrumented: CR\_ABCD Instruments: dum\_m4 dum\_m5 dum\_m6 dum\_m7 dum\_m8 dum\_m9 dum\_m10 dum\_m11 dum\_12 dum\_13 dum\_14 dum\_15 dum\_16 dum\_17 dum\_18 dum\_19 dum\_110 lgrv\_pe ldist

Tabela 3-1: Ajustamento Veículos de Passeio

#### Considerações:

- $y_1$  =VVP, ANO, MES, = VP = 4% volumes passeio passando pelo pedágio no mês
- y<sub>2</sub> = QTP, ANO, MES, = CR\_ABCD = transações de celulares de usuários das classes A, B,
   C, D
- $x_n$  = variáveis explicativas independentes ldist, lgrv\_ep, lgrv\_pe

#### Onde:

- Idist =  $\sum (\ln (dist_{ij}), ij \in MLP$
- $lgrv_pe = \sum (ln (população_i.emprego_i), ij \in MLP$
- dum\_m4, ..., dum\_m11 = variáveis dummy indicativas dos meses abril a novembro de 2019
- dum\_l2, ..., dum\_l10 = variáveis dummy indicativas dos lotes 2 a 10 de pedágios

Os lotes de processamento são apresentados na figura a seguir.



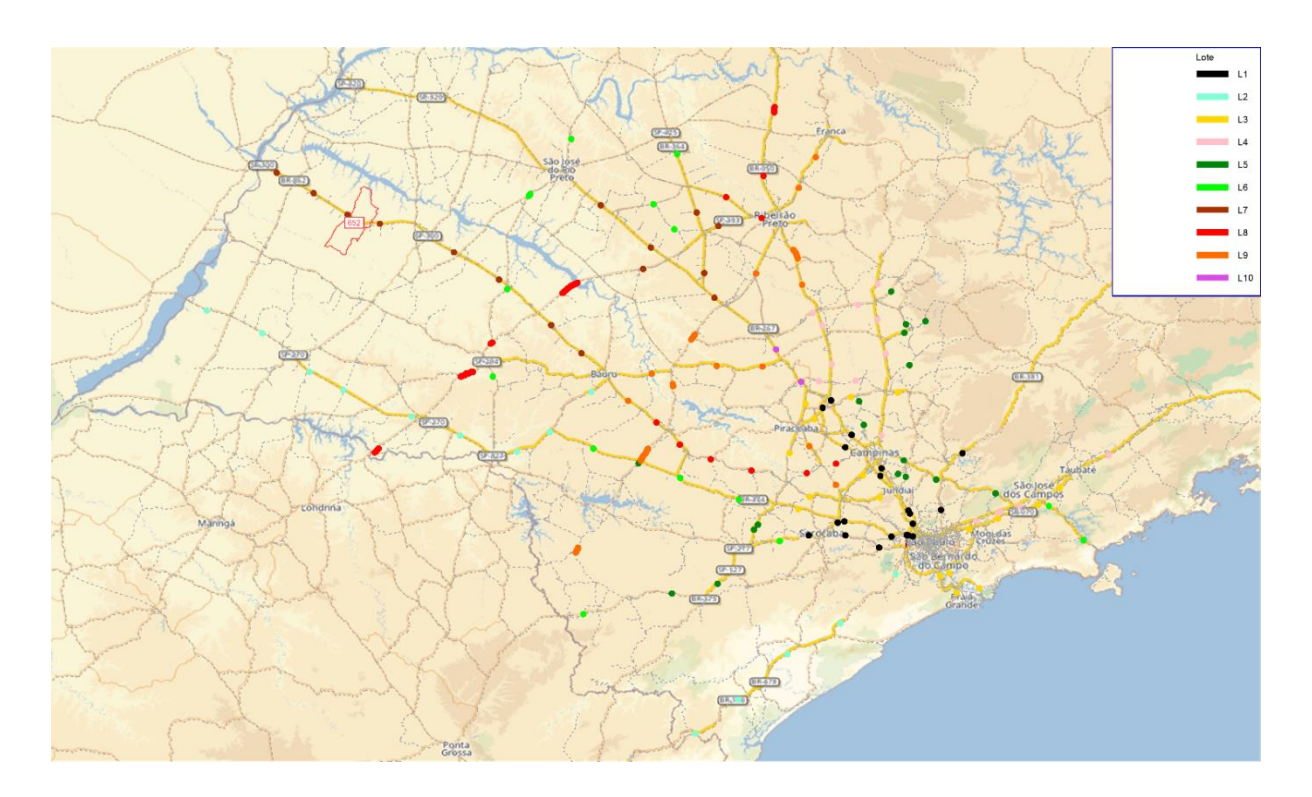


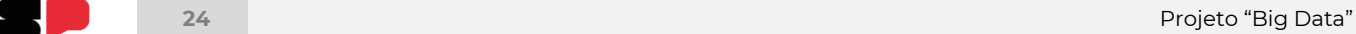
Figura 3-2: Lotes de PRAÇAS de PEDÁGIO

#### **Teste de Robustez dos Coeficientes:** b)

Abaixo são apresentados os resultados obtidos após a aplicação de 2000 replicações do modelo pelo método Bootstrap. Observa-se que o coeficiente CR\_ABCD e a maioria dos coeficientes dummy se mostram significativos com P>|z| inferior a 5%.

Tabela 3-2: Teste de Robustez Veículos de Passeio

	Observed	Bootstrap			Normal	-based
VP	coefficient	std. err.	z	P> z	[95% conf.	interval]
CR_ABCD	1.483492	.1139125	13.02	0.000	1.260228	1.706756
dum_110	-3966.132	2180.044	-1.82	0.069	-8238.94	306.6757
dum_12	-10672.81	1192.4	-8.95	0.000	-13009.87	-8335 <b>.7</b> 5
dum_13	-5493.408	1356.405	-4.05	0.000	-8151.913	-2834.903
dum_14	-11005.73	1200.002	-9.17	0.000	-13357.69	-8653.766
dum_15	-12617.56	1174.243	-10.75	0.000	-14919.04	-10316.09
dum_16	-10606.13	1208.575	-8.78	0.000	-12974.9	-8237.368
dum_17	-12557.03	1198.534	-10.48	0.000	-14906.12	-10207.95
dum_18	-12446.1	1171.443	-10.62	0.000	-14742.09	-10150.12
dum_19	-13235.61	1156.064	-11.45	0.000	-15501.46	-10969.77
dum_m4	-2196.065	889.5197	-2.47	0.014	-3939.492	-452.6382
dum_m5	773.3994	937.6852	0.82	0.409	-1064.43	2611.229
dum_m6	-2595.545	839.8647	-3.09	0.002	-4241.65	-949.4408
dum_m7	-1321.301	899.0774	-1.47	0.142	-3083.46	440.8581
dum_m8	1350.245	902.2703	1.50	0.135	-418.1725	3118.662
dum_m9	1548.066	831.1034	1.86	0.063	-80.8666	3176.999
dum_m10	2482.149	864.3725	2.87	0.004	788.0098	4176.288
dum_m11	-385.8297	906.8833	-0.43	0.671	-2163.288	1391.629
_cons	11475.83	1372.885	8.36	0.000	8785.023	14166.63



#### c) Teste Endogeneidade:

Abaixo são apresentados os resultados obtidos para rejeição da hipótese de que a variável CR\_ABCD seja exógena.

Tabela 3-3: Teste de Endogeneidade Veículos de Passeio

```
estat endogenous CR_ABCD

Tests of endogeneity
H0: Variables are exogenous

Durbin (score) chi2(1) = 35.5916 (p = 0.0000)
Wu-Hausman F(1,2435) = 35.8209 (p = 0.0000)
```

#### d) Teste de sobre Identificação

Abaixo são apresentados os resultados obtidos para rejeição da hipótese de que a as variáveis instrumentais estejam estruturalmente correlacionadas com as variáveis dependentes.

Tabela 3-4: Teste de sobre Identificação Veículos de Passeio

```
estat overid

Tests of overidentifying restrictions:

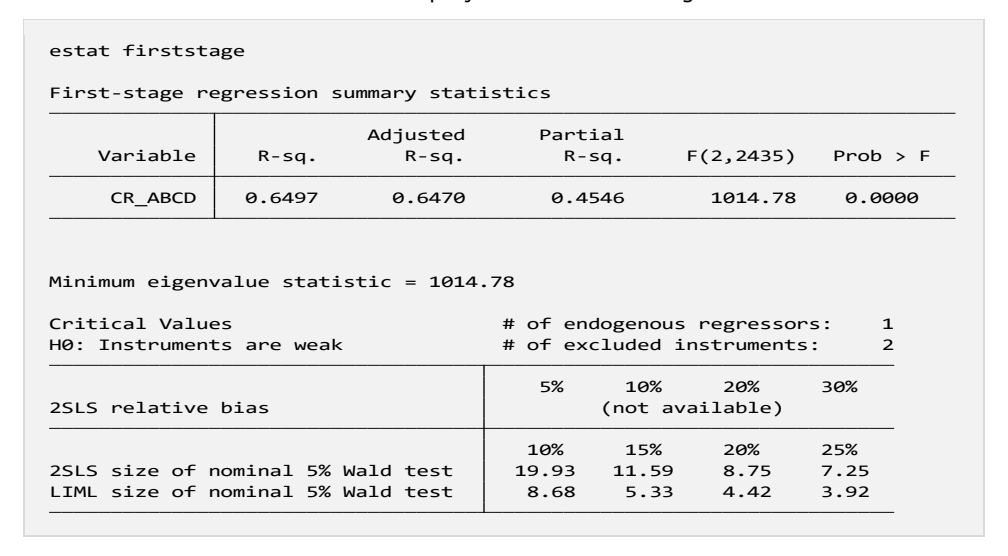
Sargan (score) chi2(1) = 12.8454 (p = 0.0003)

Basmann chi2(1) = 12.8077 (p = 0.0003)
```

#### e) Validade da Equação de Primeiro Estágio

Abaixo são apresentados os resultados obtidos para rejeição das hipóteses de que a as variáveis instrumentais e independentes não sejam correlacionadas com a variável endógena ou representem risco de viés nos resultados.

Tabela 3-5: Teste Validade da equação de Primeiro Estágio Veículos de Passeio





### 3.3.2 Resultados para veículos comerciais leves

#### a) Ajustamento do Modelo:

A seguir é apresentada a Tabela **3-6** com o resultado obtido através do software STATA para veículos comerciais leves.

Tabela 3-6: Ajustamento Veículos Comerciais Leves

ne	ntal variables	2SLS regressi	Wald Prob	er of obs chi2(18) > chi2 uared MSE	= = = = =	2,455 3720.95 0.0000 0.5900 1101.7	
VCL	Coefficient	Robust std. err.	z	P> z	[95% c	onf.	interval]
CR_BCDE	.1867095	.0078131	23.90	0.000	.17139	61	. 2020228
dum_m4	-250.6005	98.17285	-2.55	0.011	-443.01	57	-58.18521
dum_m5	268.8604	100.1409	2.68	0.007	72.587	87	465.133
dum_m6	-392.7238	95.12263	-4.13	0.000	-579.16	07	-206.2868
dum_m7	-140.98	104.9054	-1.34	0.179	-346.59	08	64.63075
dum_m8	360.7016	95.64084	3.77	0.000	173.2	49	548.1542
dum_m9	357.4073	92.09766	3.88	0.000	176.89	92	537.9154
dum_m10	495.7752	94.93466	5.22	0.000	309.70	67	681.8437
dum_m11	7.738792	101.7651	0.08	0.939	-191.71	71	207.1947
dum_12	-969.0578	145.933	-6.64	0.000	-1255.0	81	-683.0344
dum_13	-856.3955	152.9164	-5.60	0.000	-1156.1	.06	-556.6849
dum_14	-1112.516	138.0633	-8.06	0.000	-1383.1	15	-841.9173
dum_15	-1104.118	152.2558	-7.25	0.000	-1402.5	34	-805.7016
dum_16	-1052.383	145.4583	-7.23	0.000	-1337.4	76	-767.2902
dum_17	-1303.668	148.3621	-8.79	0.000	-1594.4	53	-1012.884
dum_18	-1243.892	141.2186	-8.81	0.000	-1520.6	75	-967.1083
dum_19	-1310.607	140.5792	-9.32	0.000	-1586.1	37	-1035.077
dum_110	239.0653	268.8431	0.89	0.374	-287.85	76	765.9881
_cons	1187.576	163.4717	7.26	0.000	867.17	77	1507.975

#### Considerações:

- $y_1$  =VVP, ANO, MES, = VCL=4% volumes de veículos comerciais leves passando pelo pedágio no mês
- y<sub>2</sub> = QTP, ANO, MES, = CR\_BCDE= transações de celulares de usuários das classes A, B,
   C, D.
- $x_n$  = variáveis explicativas independentes ldist, lgrv\_ep, lgrv\_pe

#### Onde:

- Idist =  $\sum (\ln (dist_{ij}), ij \in MLP$
- $lgrv_ee = \sum (ln (emprego_i.emprego_j), ij \in MLP$
- dum\_m4, ..., dum\_m11 = variáveis dummy indicativas dos meses abril a novembro de 2019.
- dum\_l2, ..., dum\_l10 = variáveis dummy indicativas dos lotes 2 a 10 de pedágios.



#### b) Teste de Robustez dos Coeficientes:

Abaixo são apresentados os resultados obtidos após a aplicação de 2000 replicações do modelo pelo método Bootstrap. Observa-se que o coeficiente CR\_BCDE e a maioria dos coeficientes dummy se mostram significativos com P>|z| inferior a 5%.

Observed Bootstrap Normal-based VCL coefficient std. err. P>|z| [95% conf. interval] CR\_BCDE .1867095 .0079556 23.47 0.000 .1711167 .2023022 dum\_m4 -250.6005 94.48552 0.008 -435.7887 -65.41226 -2.65 dum\_m5 268.8604 98.84851 2.72 0.007 75.12091 462.6 -218.1014 -392.7238 89.09466 -4.41 dum m6 0.000 -567.3461 -1.38 dum m7 -140.98 101.9912 0.167 -340.879 58.91898 dum\_m8 360.7016 93.35933 3.86 0.000 177.7207 543.6826 357.4073 dum\_m9 88.66549 4.03 0.000 183.6261 531.1884 dum\_m10 495.7752 89.64081 5.53 0.000 320.0824 671.4679 dum\_m11 7.738792 99.45465 0.08 0.938 -187.1887 202.6663 -969.0578 142.5517 0.000 dum 12 -6.80 -1248.454 -689,6615 -856.3955 152.4669 -5.62 0.000 -1155.225 -557.5658 dum 13 dum\_14 -1112.516 139.0489 -8.00 0.000 -1385.047 -839.9856 dum\_15 -1104.118 147.9576 -1394.109 -814.126 -7.46 0.000 dum\_16 -1052.383 145.048 -7.26 0.000 -1336.672 -768.0942 dum\_17 -1303.668 145.9984 -8.93 0.000 -1589.82 -1017.517 dum\_18 -1243.892 141.0739 -8.82 0.000 -1520.391 -967.3919 dum\_19 -1310.607 140.2837 -9.34 0.000 -1585.558 -1035.656 dum\_110 239.0653 266.3414 0.90 0.369 -282.9544 761.0849

Tabela 3-7: Teste de Robustez Veículos de Comerciais Leves

#### c) Teste Endogeneidade:

\_cons

1187.576

164.4088

Abaixo são apresentados os resultados obtidos para rejeição da hipótese de que a variável CR\_BCDE seja exógena.

7.22

0.000

865.3411

1509.812

 dum\_17
 -1303.668
 148.3621
 -8.79
 0.000
 -1594.453

 dum\_18
 -1243.892
 141.2186
 -8.81
 0.000
 -1520.675

 dum\_19
 -1310.607
 140.5792
 -9.32
 0.000
 -1586.137

 dum\_110
 239.0653
 268.8431
 0.89
 0.374
 -287.8576

 \_cons
 1187.576
 163.4717
 7.26
 0.000
 867.1777

Tabela 3-8: Teste de Endogeneidade Veículos Comerciais Leves

#### d) Teste de sobre Identificação:

Abaixo são apresentados os resultados obtidos para rejeição da hipótese de que a as variáveis instrumentais estejam estruturalmente correlacionadas com as variáveis dependentes.

Tabela 3-9: Teste de Sobre Identificação Veículos Comerciais Leves

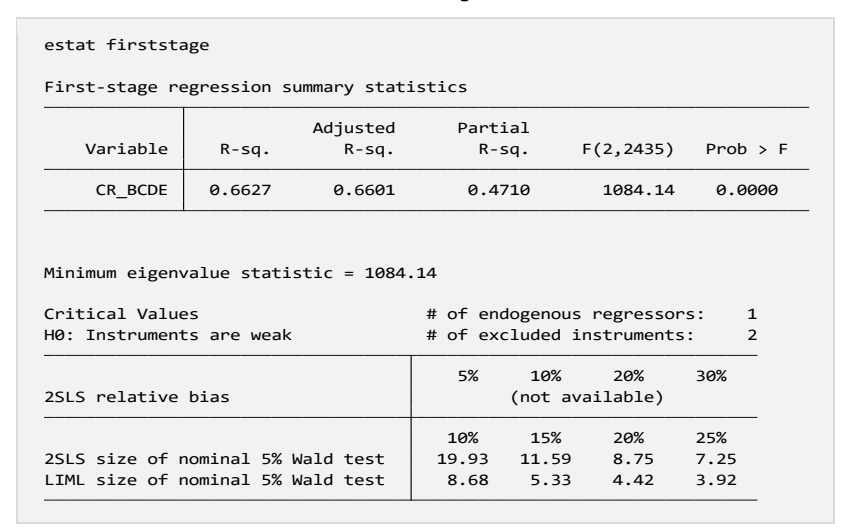
Instrumented: CR\_BCDE
Instruments: dum\_m4 dum\_m5 dum\_m6 dum\_m7 dum\_m8 dum\_m9 dum\_m10 dum\_m dum\_12 dum\_13 dum\_14 dum\_15 dum\_16 dum\_17 dum\_18 dum\_19 dum\_110 lgrv\_ee ldist



#### e) Validade da Equação de Primeiro Estágio:

Abaixo são apresentados os resultados obtidos para rejeição das hipóteses de que a as variáveis instrumentais e independentes não sejam correlacionadas com a variável endógena ou representem risco de viés nos resultados.

Tabela 3-10: Teste de Primeiro Estágio Veículos Comerciais Leves

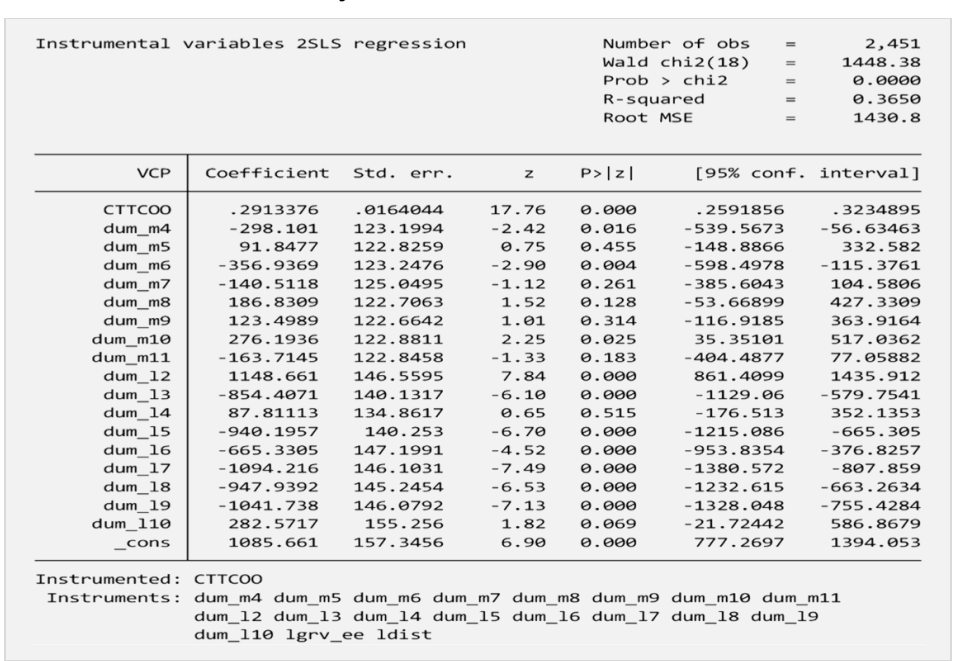


#### 3.3.3 Resultados para Veículos Comerciais Pesados:

#### a) Ajustamento do Modelo:

A seguir é apresentada a Tabela **3-11** com o resultado obtido através do software STATA para veículos comerciais pesados.

Tabela 3-11: Ajustamento Veículos Comerciais Pesados





#### Considerações:

- $y_1$  =VVP, ANO, MES, = VCP=4% volumes de veículo comerciais pesados passando pelo pedágio no mês
- $y_2$ = QTP, ANO, MES, = CTTCOO= transações de celulares de usuários nos motivos casatrabalho, trabalho-casa e outro-outro
- $x_n$  = variáveis explicativas independentes ldist, lgrv\_ep, lgrv\_pe

#### Onde:

- Idist =  $\sum (\ln (dist_{ij}), ij \in MLP$
- $lgrv_ee = \sum (ln (emprego_i.emprego_i), ij \in MLP$
- dum\_m4, ..., dum\_m11 = variáveis dummy indicativas dos meses abril a novembro de 2019
- dum\_l2, ..., dum\_l10 = variáveis dummy indicativas dos lotes 2 a 10 de pedágios

#### b) Teste de Robustez dos Coeficientes:

Abaixo são apresentados os resultados obtidos após a aplicação de 2000 replicações do modelo pelo método Bootstrap. Observa-se que o coeficiente CTTCOO e a maioria dos coeficientes dummy se mostram significativos com P>|z| inferior a 5%.

Tabela 3-12: Teste de Robustez Veículos de Comerciais Pesados

	Observed	Bootstrap			Norma]	-based
VCP	coefficient	std. err.	Z	P> z	[95% conf.	interval
CTTC00	.2913376	.0175443	16.61	0.000	.2569514	.3257237
dum_110	282.5717	224.9075	1.26	0.209	-158.2389	723.3823
dum_12	1148.661	220.5137	5.21	0.000	716.4623	1580.86
dum_13	-854.4071	139.9035	-6.11	0.000	-1128.613	-580.2013
dum_14	87.81113	179.6216	0.49	0.625	-264.2407	439.863
dum_15	-940.1957	140.4401	-6.69	0.000	-1215.453	-664.9382
dum_16	-665.3305	142.7253	-4.66	0.000	-945.0669	-385.5943
dum_17	-1094.216	141.4158	-7.74	0.000	-1371.386	-817.0458
dum_18	-947.9392	141.2894	-6.71	0.000	-1224.861	-671.017
dum_19	-1041.738	138.6943	-7.51	0.000	-1313.574	-769.9025
dum_m4	-298.101	123.0192	-2.42	0.015	-539.2142	-56.9877
dum_m5	91.8477	122.6332	0.75	0.454	-148.509	332.204
dum_m6	-356.9369	118.5796	-3.01	0.003	-589.3486	-124.5252
dum_m7	-140.5118	129.8805	-1.08	0.279	-395.073	114.0494
dum_m8	186.8309	122.9945	1.52	0.129	-54.23377	427.895
dum_m9	123.4989	123.5749	1.00	0.318	-118.7035	365.7013
dum_m10	276.1936	127.2695	2.17	0.030	26.75002	525.6372
dum_m11	-163.7145	126.0715	-1.30	0.194	-410.81	83.38107
_cons	1085.661	171.4505	6.33	0.000	749.6245	1421.698

#### c) Teste Endogeneidade:

Abaixo são apresentados os resultados obtidos para rejeição da hipótese de que a variável CR\_BCDE seja exógena.



Tabela 3-13: Teste de Endogeneidade Veículos Comerciais Pesados

```
estat endogenous CTTCOO
Tests of endogeneity
H0: Variables are exogenous
Durbin (score) chi2(1) = 50.9709 (p = 0.0000)
Wu-Hausman F(1,2431) = 51.6286 (p = 0.0000)
```

#### Teste de sobre Identificação: d)

Abaixo são apresentados os resultados obtidos para rejeição da hipótese de que a as variáveis instrumentais estejam estruturalmente correlacionadas com as variáveis dependentes.

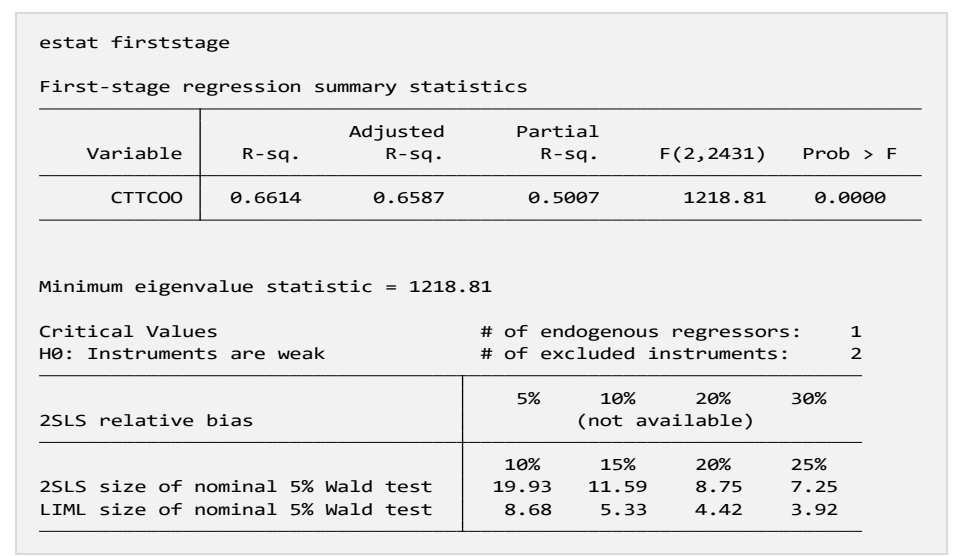
Tabela 3-14: Teste de Sobre Identificação Veículos Comerciais Pesados

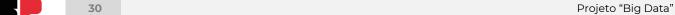
```
estat overid
Tests of overidentifying restrictions:
Sargan (score) chi2(1) = 7.03109 (p = 0.0080)
Basmann chi2(1)
                 = 6.99378 (p = 0.0082)
```

#### e) Validade da equação de Primeiro Estágio:

Abaixo são apresentados os resultados obtidos para rejeição das hipóteses de que a as variáveis instrumentais e independentes não sejam correlacionadas com a variável endógena ou representem risco de viés nos resultados.

Tabela 3-15: Teste de Primeiro Estágio Veículos Comerciais Pesados





Resultados do ajustamento estatístico e na alocação de rede.

# 4.1 Ajustamento Veículo Passeio

Conforme apresentado na figura abaixo, os dados de veículo passeio apresentam significativa redução da dispersão após a aplicação do modelo.

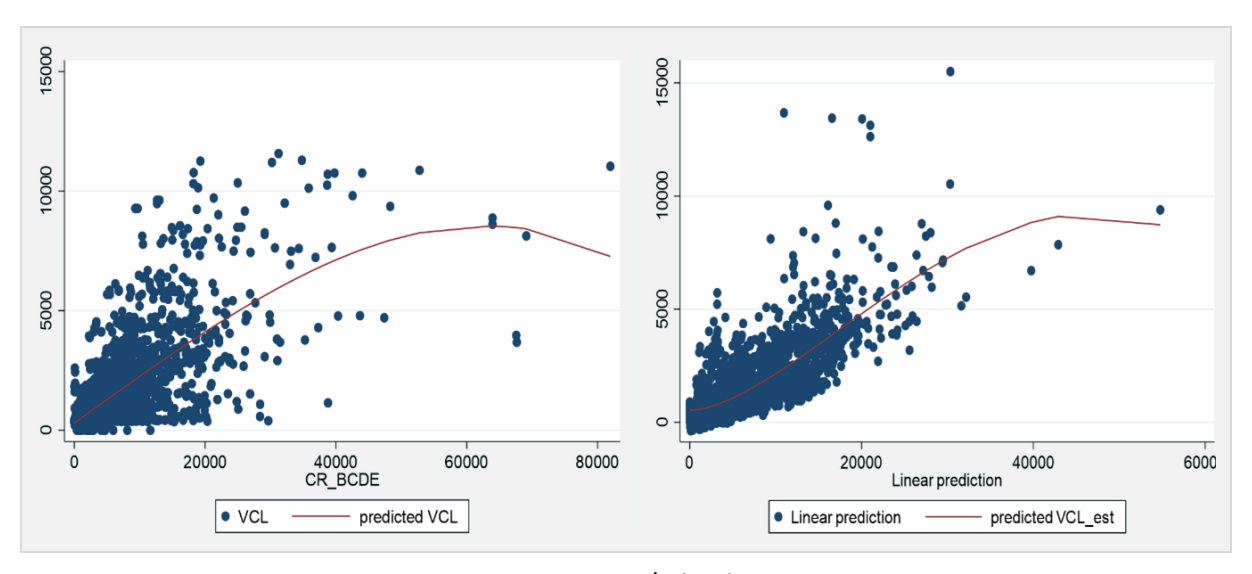


Figura 4-1: Ajuste Veículos de Passeio

A aplicação dos coeficientes encontrados em regressão sobre as matrizes de transações produz os resultados de alocação de pedágio em rede de simulação com os resultados de correlação entre observado em pedágio e simulado pwcorr = .7955, considerado satisfatório.



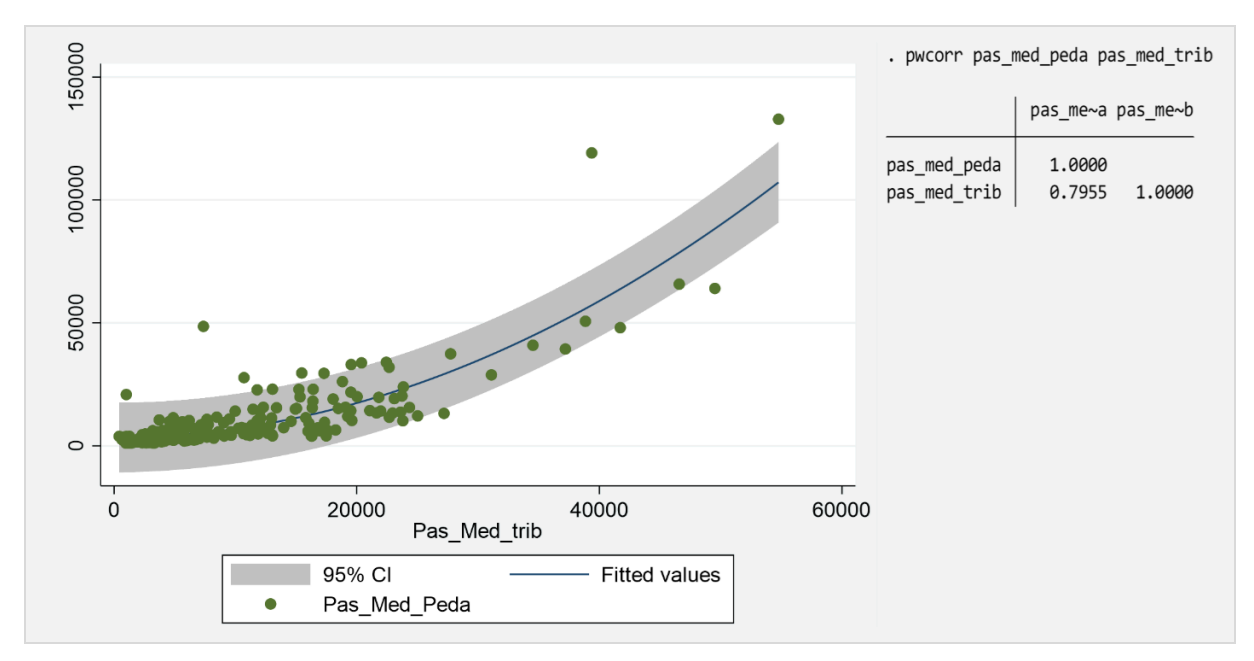


Figura 4-2: Calibração Veículos de Passeio

# 4.2 Ajustamento Veículo Comercial Leve

Conforme apresentado na figura abaixo, os dados de veículo passeio apresentam significativa redução da dispersão após a aplicação do modelo.

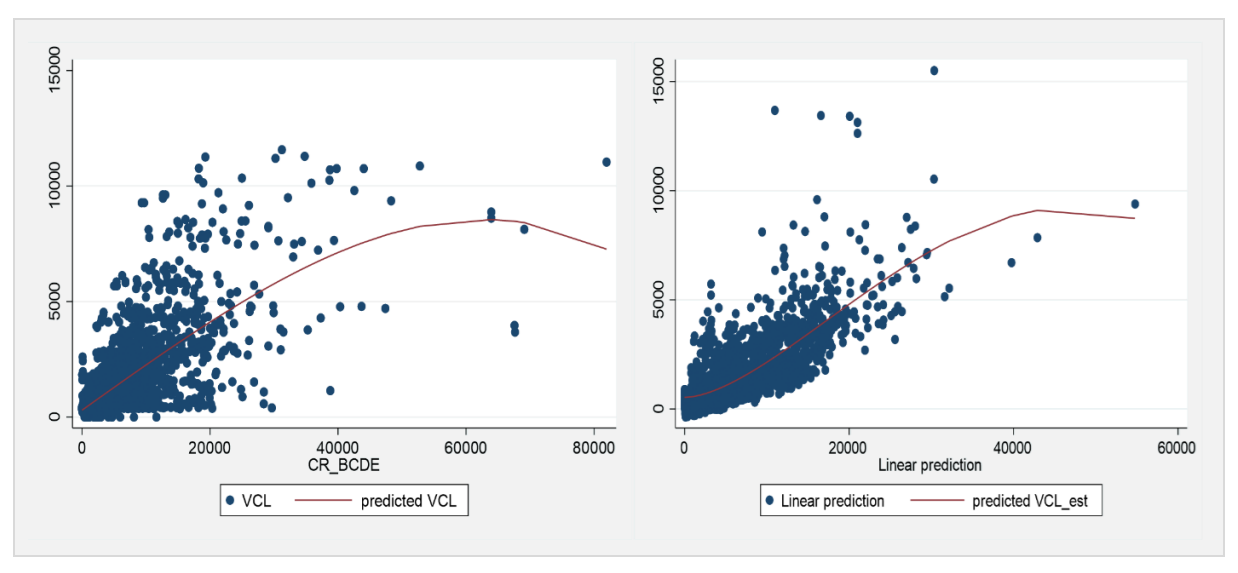


Figura 4-3: Ajuste Veículos Comerciais Leves

A aplicação dos coeficientes encontrados em regressão sobre as matrizes de transações produz os resultados de alocação de pedágio em rede de simulação com os resultados de correlação entre observado em pedágio e simulado pwcorr = .5139, considerado satisfatório.

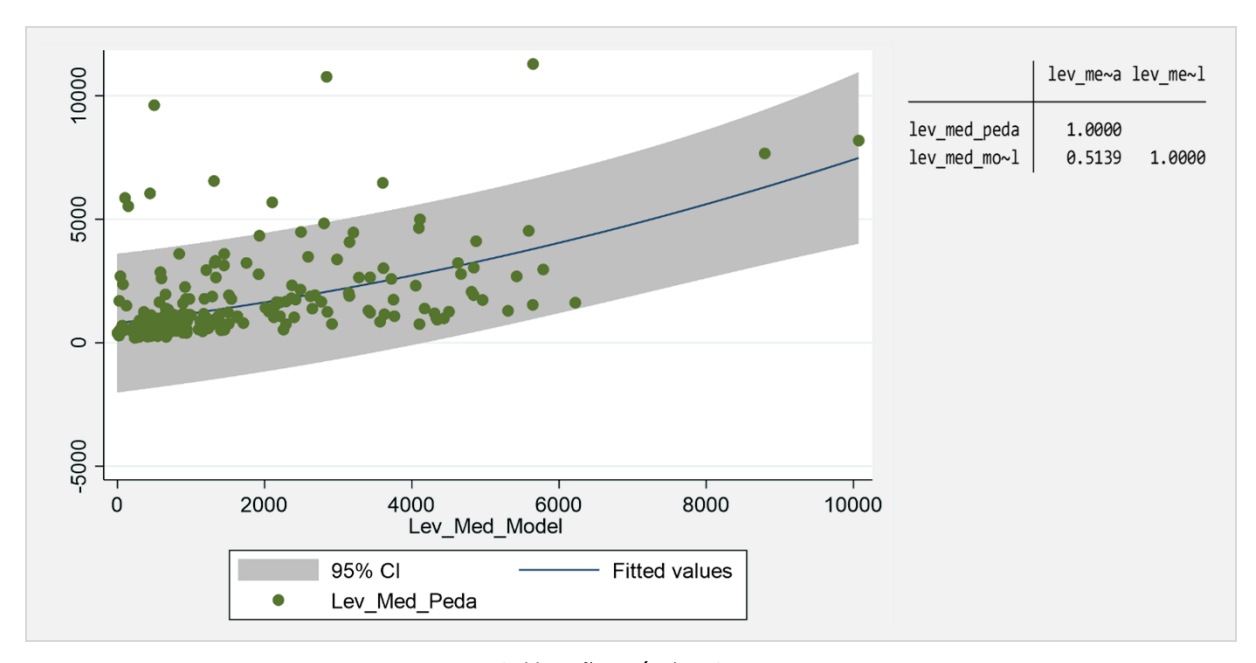


Figura 4-4: Calibração Veículos Comerciais Leves

# 4.3 Ajustamento Veículo Comercial Pesado

Conforme apresentado na figura abaixo, os dados de veículo passeio apresentam significativa redução da dispersão após a aplicação do modelo.

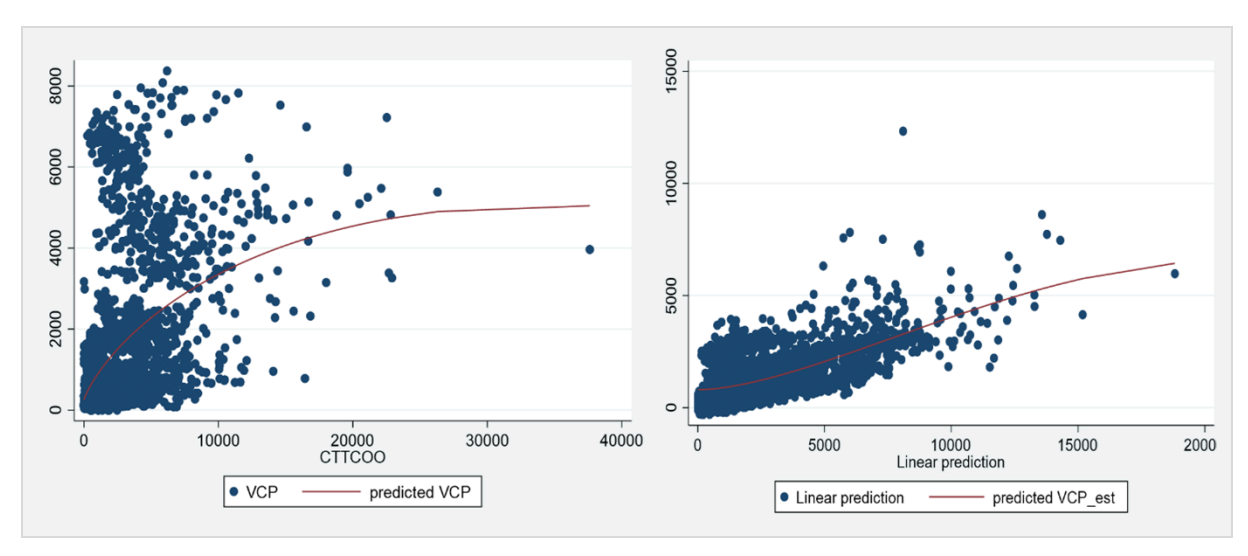


Figura 4-5: Ajuste Veículos Comerciais Pesados

A aplicação dos coeficientes encontrados em regressão sobre as matrizes de transações produz os resultados de alocação de pedágio em rede de simulação com os resultados de correlação entre observado em pedágio e simulado pwcorr = .6709, considerado satisfatório.



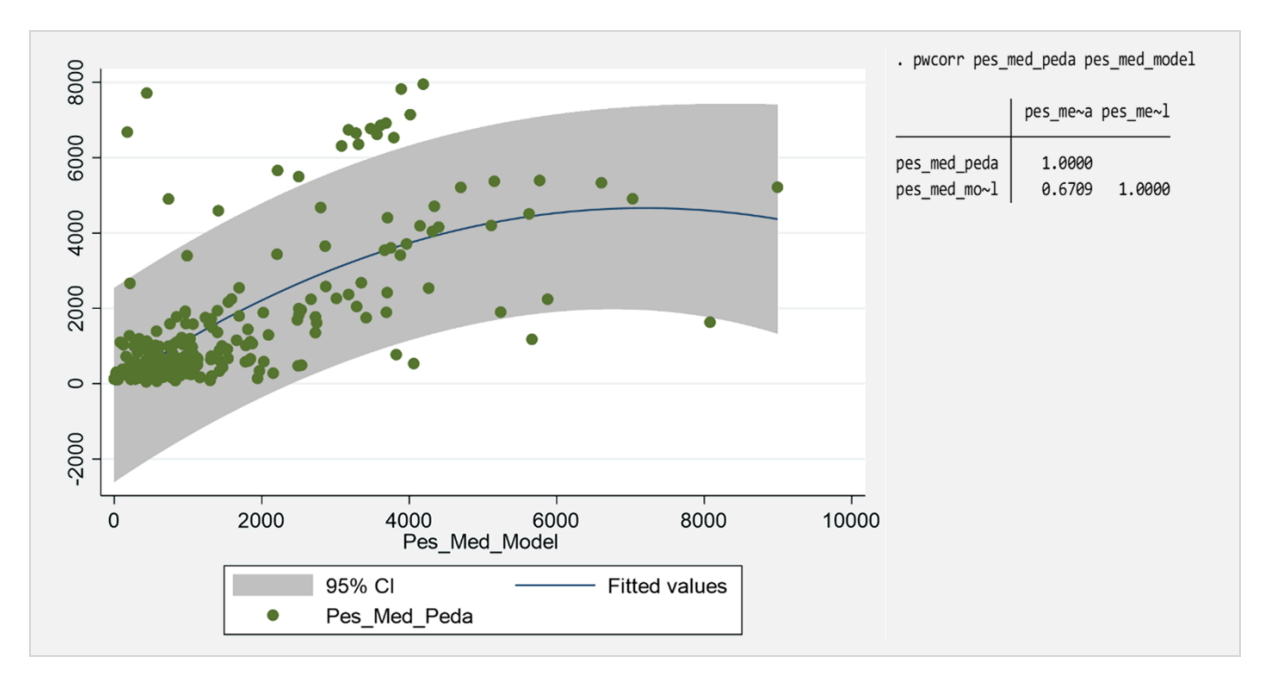


Figura 4-6: Calibração Veículos Comerciais Pesados

# 4.4 Ajustamento Veículo Dia Útil

Os resultados de ajustamento quando expandidos para o período anual por regime de atividade em dia útil apresentaram melhoria na calibração de rede com coeficientes correlação pareados de 0,8755, 0,6772 e 0,7742 para passeio, comercial leve e pesado respectivamente.

#### 4.4.1 Veículo Passeio

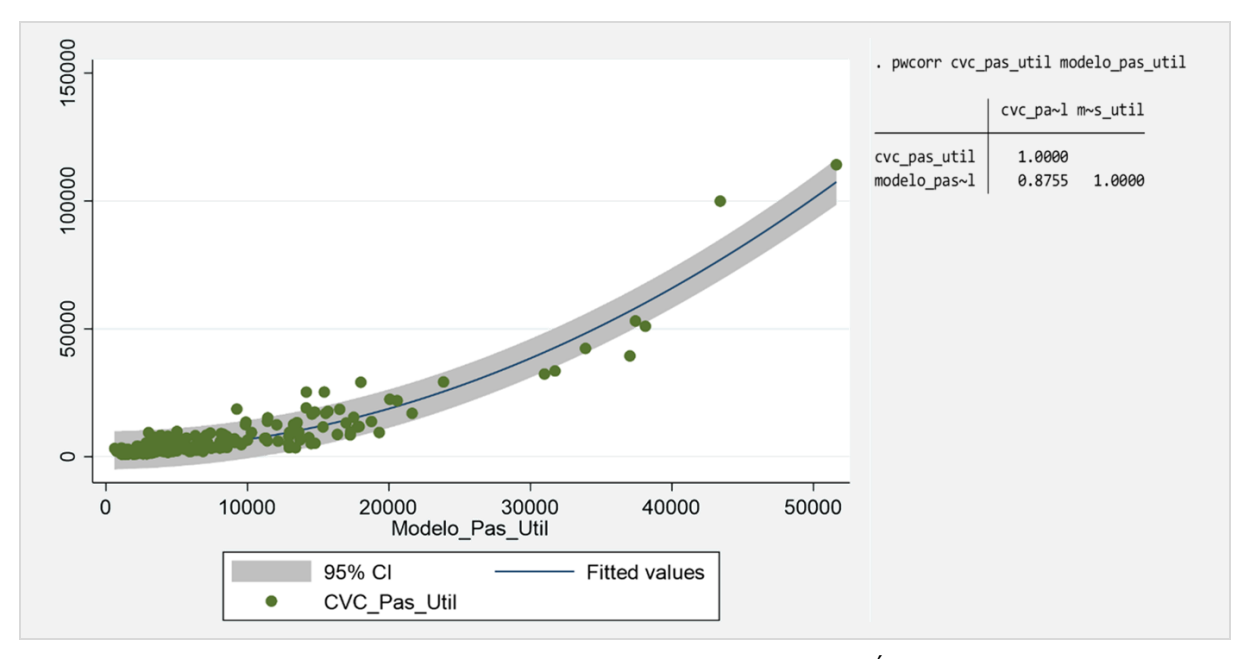


Figura 4-7: Calibração Veículos de Passeio – Dia Útil

#### 4.4.2 Veículo Comercial Leve

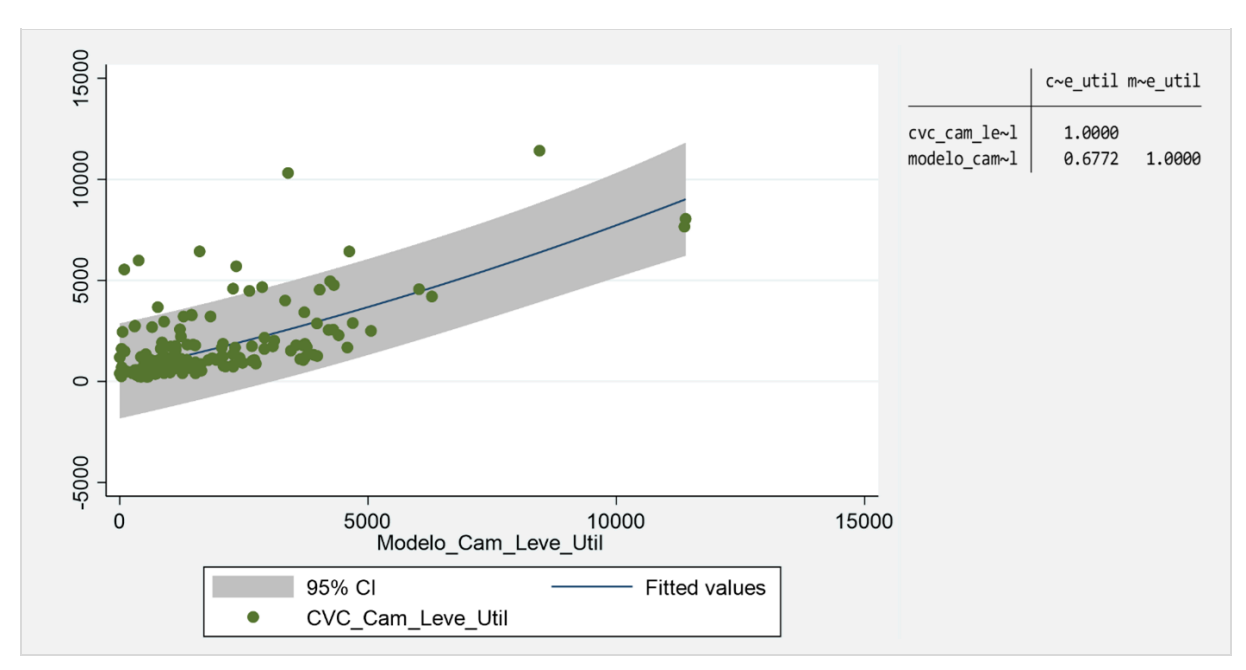


Figura 4-8: Calibração Veículos Comerciais Leves - Dia Útil

#### 4.4.3 Veículo Comercial Pesado

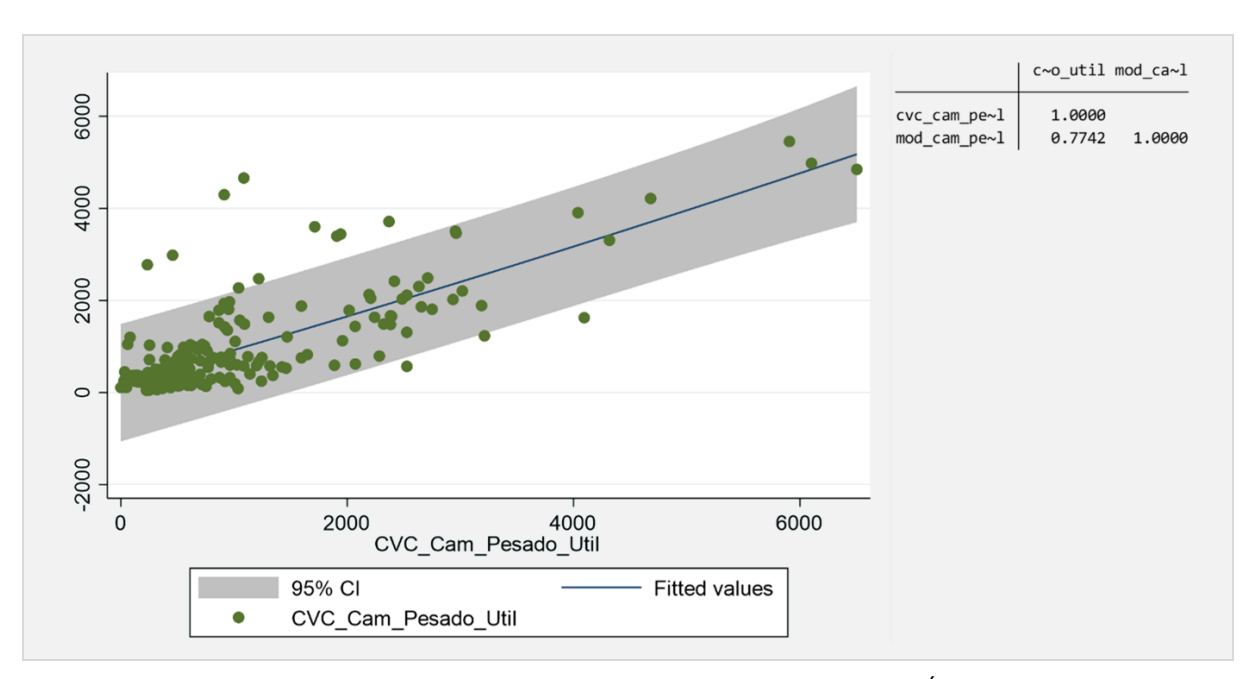


Figura 4-9: Calibração Veículos Comerciais Pesados - Dia Útil

# 4.5 Ajustamento Fim de Semana

Os resultados de ajustamento quando expandidos para o período anual por regime de atividade em dia de fim de semana apresentaram melhoria na calibração de rede com coeficientes

correlação pareados de 0,8516, 0,6592 e 0,7068 para passeio, comercial leve e pesado respectivamente.

#### 4.5.1 Veículo Passeio

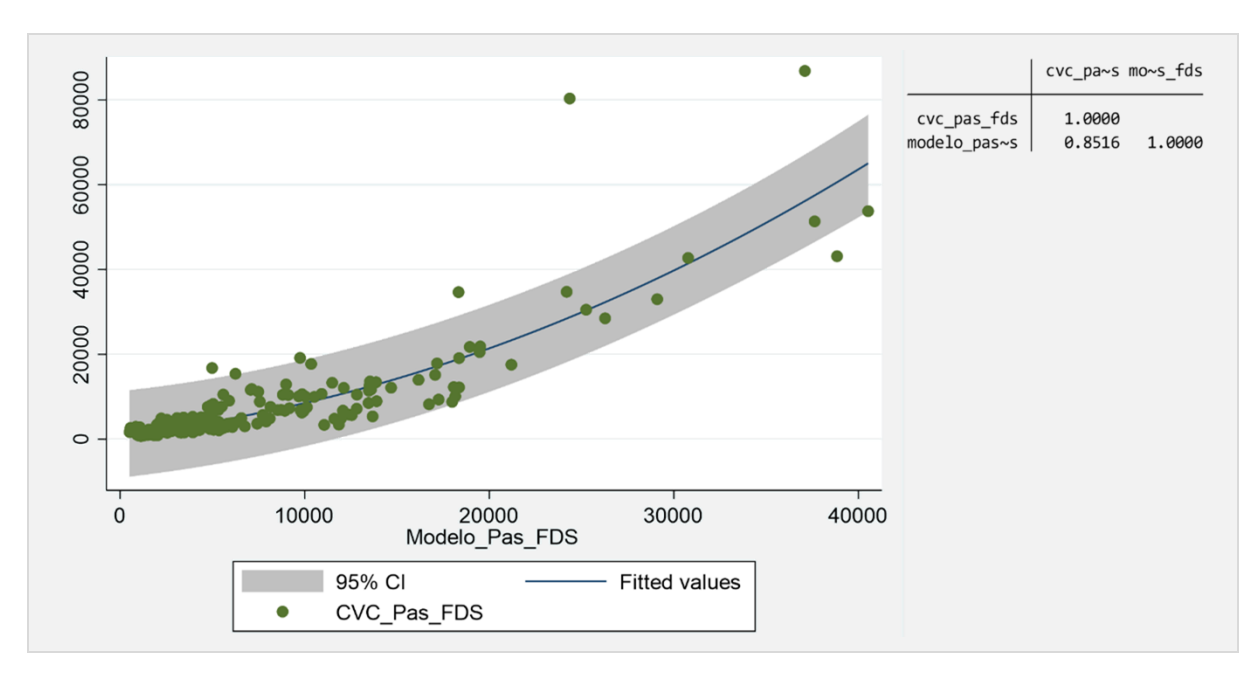


Figura 4-10: Calibração Veículos de Passeio - Final de Semana

### 4.5.2 Veículo Comercial Leve

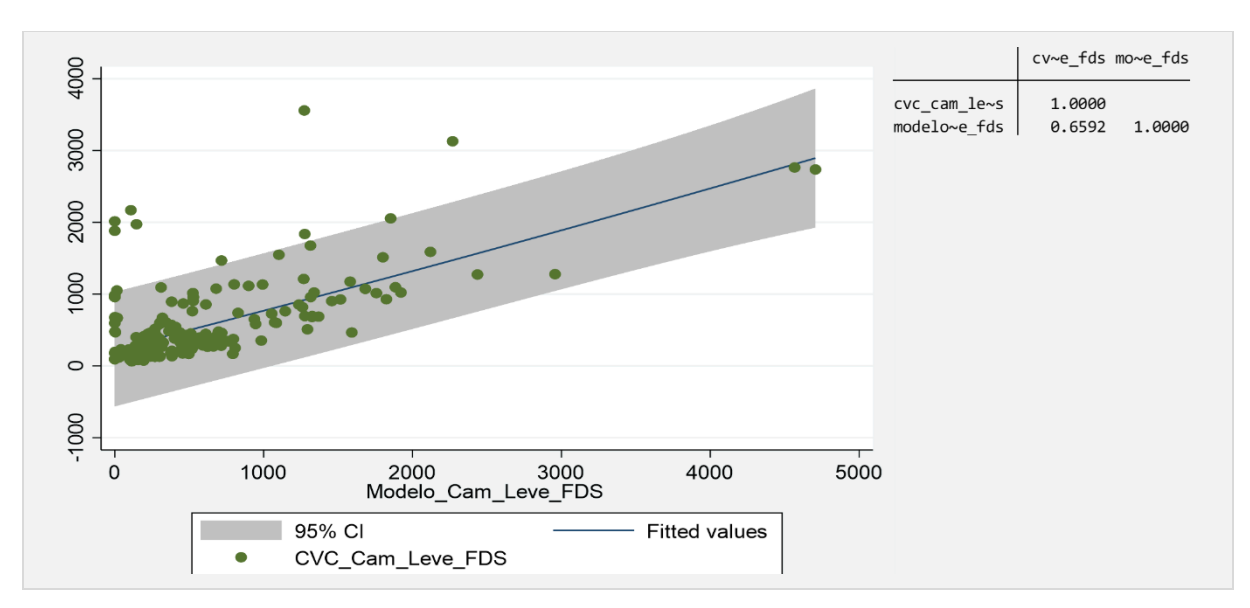


Figura 4-11: Calibração Veículos Comerciais Leves - Final de Semana

#### 4.5.3 Veículo Comercial Pesado

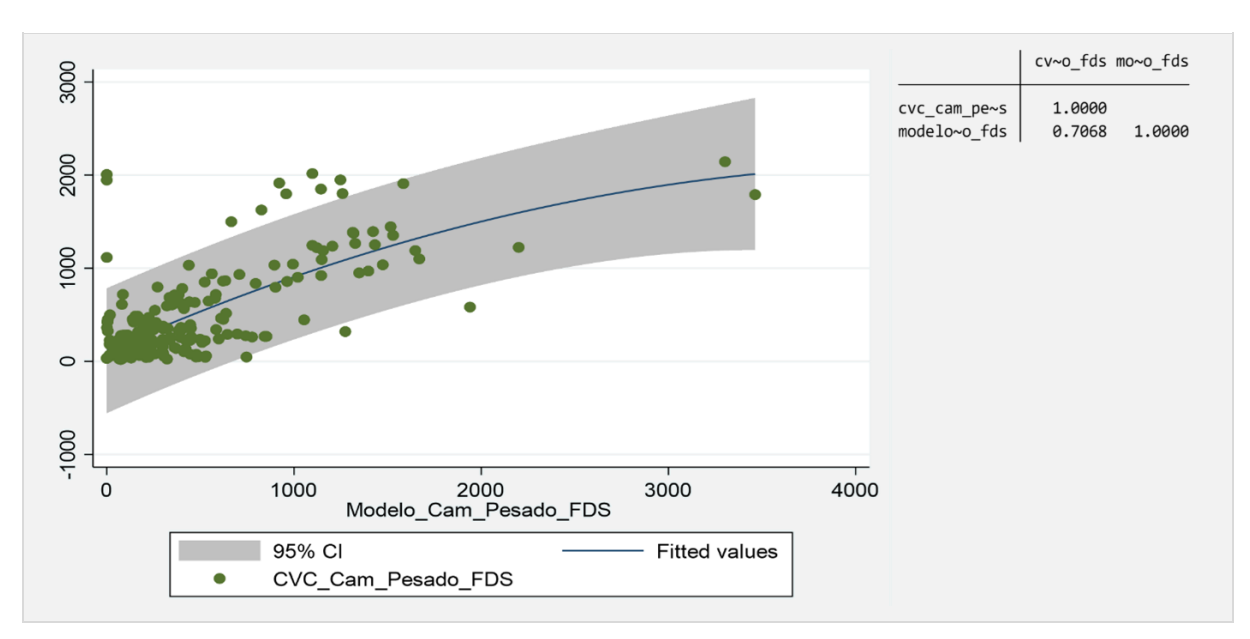


Figura 4-12: Calibração Veículos Comerciais Pesados - Final de Semana

# 4.6 Ajustamento Feriado

Os resultados de ajustamento quando expandidos para o período anual por regime de atividade em dia de feriado apresentaram melhoria na calibração de rede com coeficientes correlação pareados de 0,8857, 0,6381 e 0,7022 para passeio, comercial leve e pesado respectivamente.

#### 4.6.1 Veículo Passeio

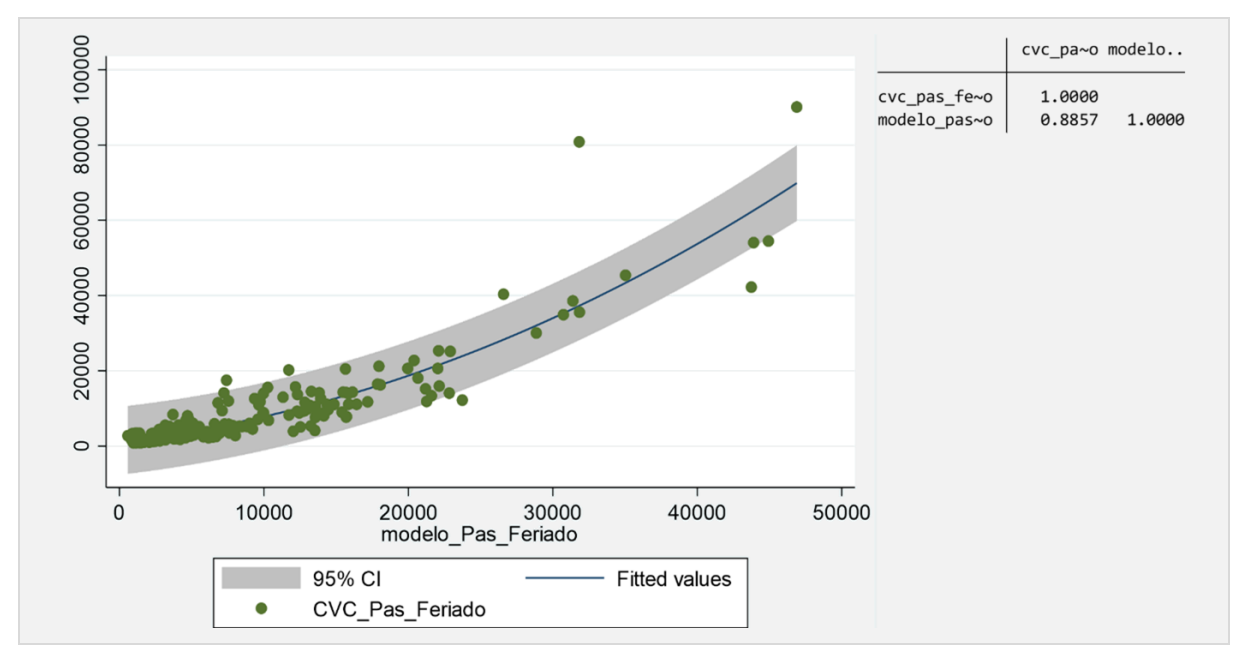


Figura 4-13: Calibração Veículos de Passeio - Feriado

# 4.6.2 Veículo Comercial Leve

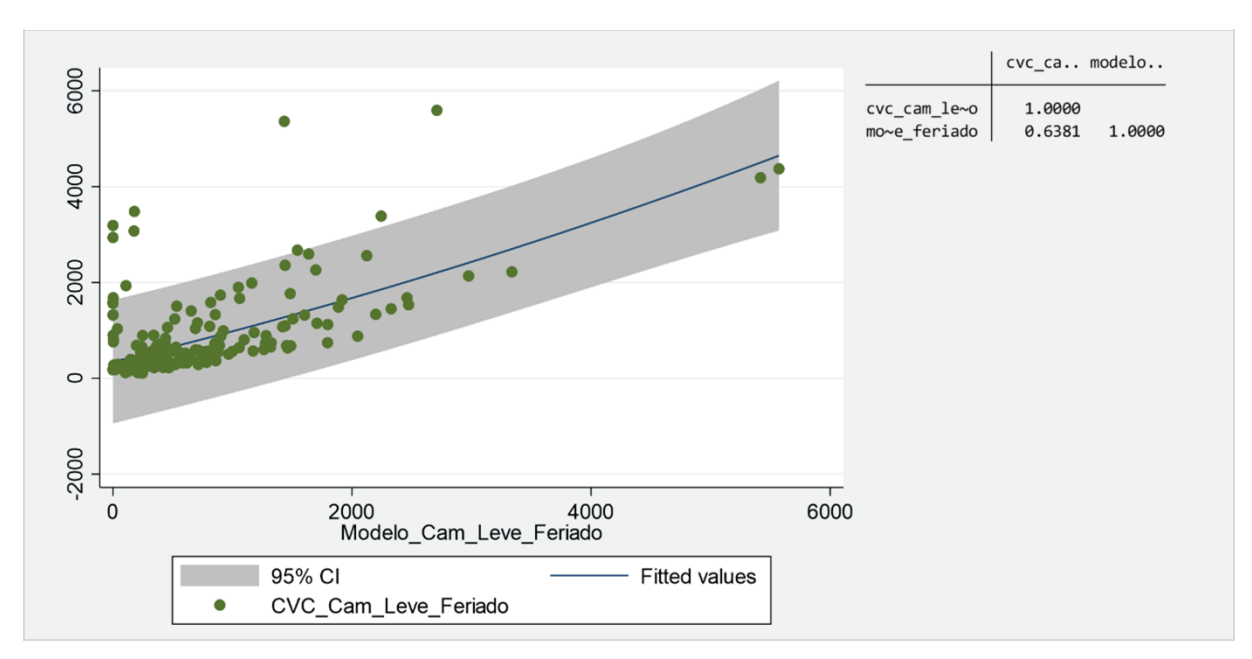


Figura 4-14: Calibração Veículos Comercial Leve - Feriado

#### 4.6.3 Veículo Comercial Pesado

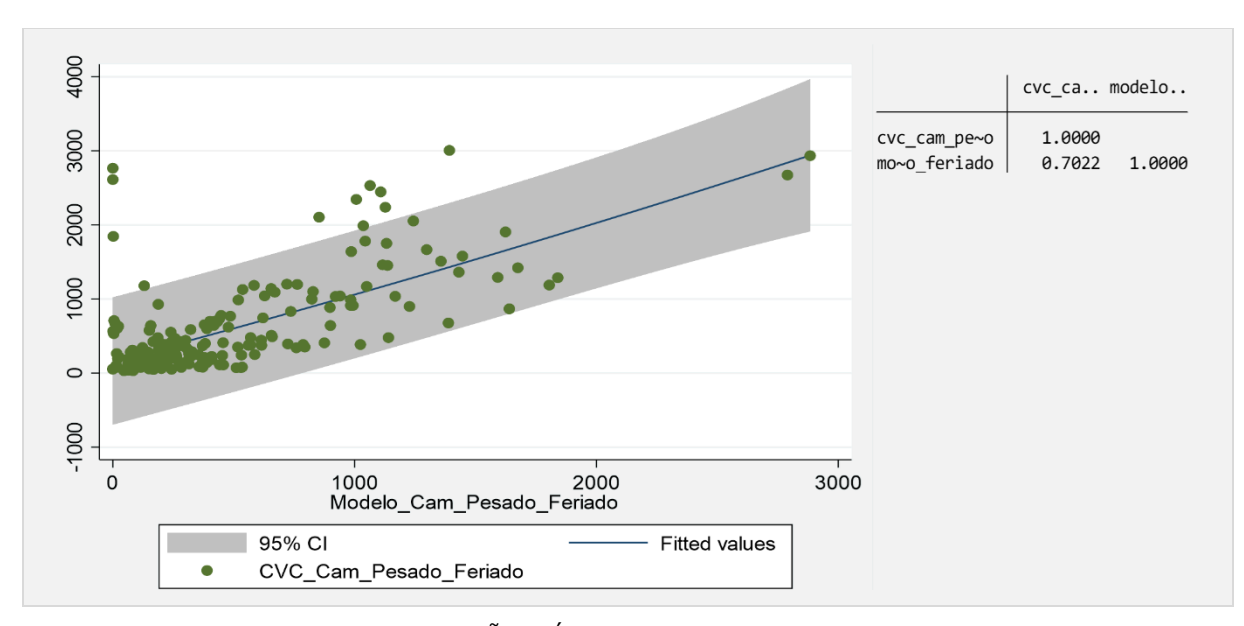


Figura 4-15: CALIBRAÇÃO VEÍCULOS COMERCIAIS PESADOS - FERIADO

A construção das matrizes de veículos é o resultado da aplicação do modelo de calibração da matriz de telefonia.

Optou-se por realizar primeiramente a obtenção das matrizes desagregadas por tipo de veículo (Calibração B) e depois, através da soma, obter a matriz agregada (Calibração A).

Foram aplicados os fatores obtidos no modelo para a obtenção das matrizes para cada um dos tipos de dia (útil; final de semana e feriado) para cada mês.

Foi levado em consideração a ponderação de cada tipo de dia no mês para que se obtenha o valor anual médio de cada um dos tipos de dia

A Tabela a seguir mostra o peso de cada um dos tipos dia ao longo do ano.

Tabela 5-1: Tipos de dias ao longo do Período em Estudo

Mês	Ano	DU	FDS	F	Total
3	2019	17	8	6	31
4	2019	20	6	4	30
5	2019	22	8	1	31
6	2019	17	8	5	30
7	2019	20	6	5	31
8	2019	22	9	0	31
9	2019	21	9	0	30
10	2019	23	8	0	31
11	2019	19	7	4	30
12	2019	18	7	6	31
1	2020	22	8	1	31
2	2020	16	7	6	29
Total		237	91	38	366

As matrizes resultantes são entregues através de meio digital, tanto em formato de banco de dados como contidas no modelo do software PT-Visum.



a) Matrizes Calibração A:	<ul> <li>Mat_DU. Matriz dia útil;</li> <li>Mat_FDS, Matriz final de semana; e</li> <li>Mat_F, Matriz feriado.</li> </ul>
b) Matrizes Calibração B:	<ul> <li>Mat_pas_DU, Matriz veículos de passeio dia útil;</li> <li>Mat_Cam_Lev_DU, Matriz de caminhões leves dia útil;</li> <li>Mat_Cam_Pes_DU Matriz de caminhões pesados dia útil;</li> <li>Mat_pas_FDS, Matriz veículos de passeio final de semana;</li> <li>Mat_Cam_Lev_FDS, Matriz de caminhões leves final de semana;</li> </ul>



# 6 Cuidados específicos

A modelagem de transportes retrata as viagens através do uso da infraestrutura por seus usuários. Habitualmente é possível construir matrizes de demanda através das pesquisas origem-destino em pontos específicos da rede de transporte.

Desta maneira existe uma concentração das viagens no eixo principal a ser estudado. No caso da utilização de matrizes provenientes da telefonia móvel o universo é maior, abrangendo-se praticamente todo o universo de viagens de uma determinada área, sejam elas rodoviária, urbanas, e de qualquer modo de transporte. Com a ampliação das matrizes, a rede deve ter a representação condizente com este maior fluxo de viagens.

As diferenças básicas entre matrizes estimadas por pesquisas origem-destino e a partir de dados de telefonia são:

- a) A Telefonia abrange um maior universo; e
- b) Existe a necessidade de uma rede detalhada e a adequação da rede ao maior fluxo e caminhos inexistentes.

Assim, há a necessidade de uma rede detalhada, já que os fluxos não contemplados usualmente

são abrangidos neste caso. Com isso, sem um detalhamento da rede, o fluxo na rede simplificada pode ser superestimado.

Na Figura 6-1, podemos exemplificar a necessidade de detalhamento. Entre os municípios de Cordeirópolis e Limeira existe um viário urbano que realiza esta ligação. No caso da não representação deste viário, as viagens se concentram no viário rodoviário, que teria uma quantidade além da realidade.



Figura 6-1: Exemplo de Viário Complementado

No caso de uma OD Rodoviária tradicional, as viagens intermunicipais que utilizam as vias urbanas não estariam contempladas na matriz.

Na Figura 6-2, temos um exemplo onde não foi detalhado o caminho entre os municípios de Guararema e Jacareí.

As viagens que utilizariam o caminho por vias urbanas, pela falta das mesmas na rede, acabam utilizando as rodovias e assim apresentando um volume acima do esperado.

Nestes casos existe uma necessidade de complementação do sistema viário urbano.



Figura 6-2: Exemplo de Viário a ser Complementado

Alguns casos mais específicos acontecem no estado, como é o caso do Rodoanel. Devido ao zoneamento utilizado, muitas das viagens da região metropolitana são consideradas intrazonais e não carregam o viário principal. Assim a atração das viagens para o Rodoanel é prejudicada, sendo necessário um detalhamento específico, ajustando as variáveis para representarem o nível de saturação com a matriz existente.

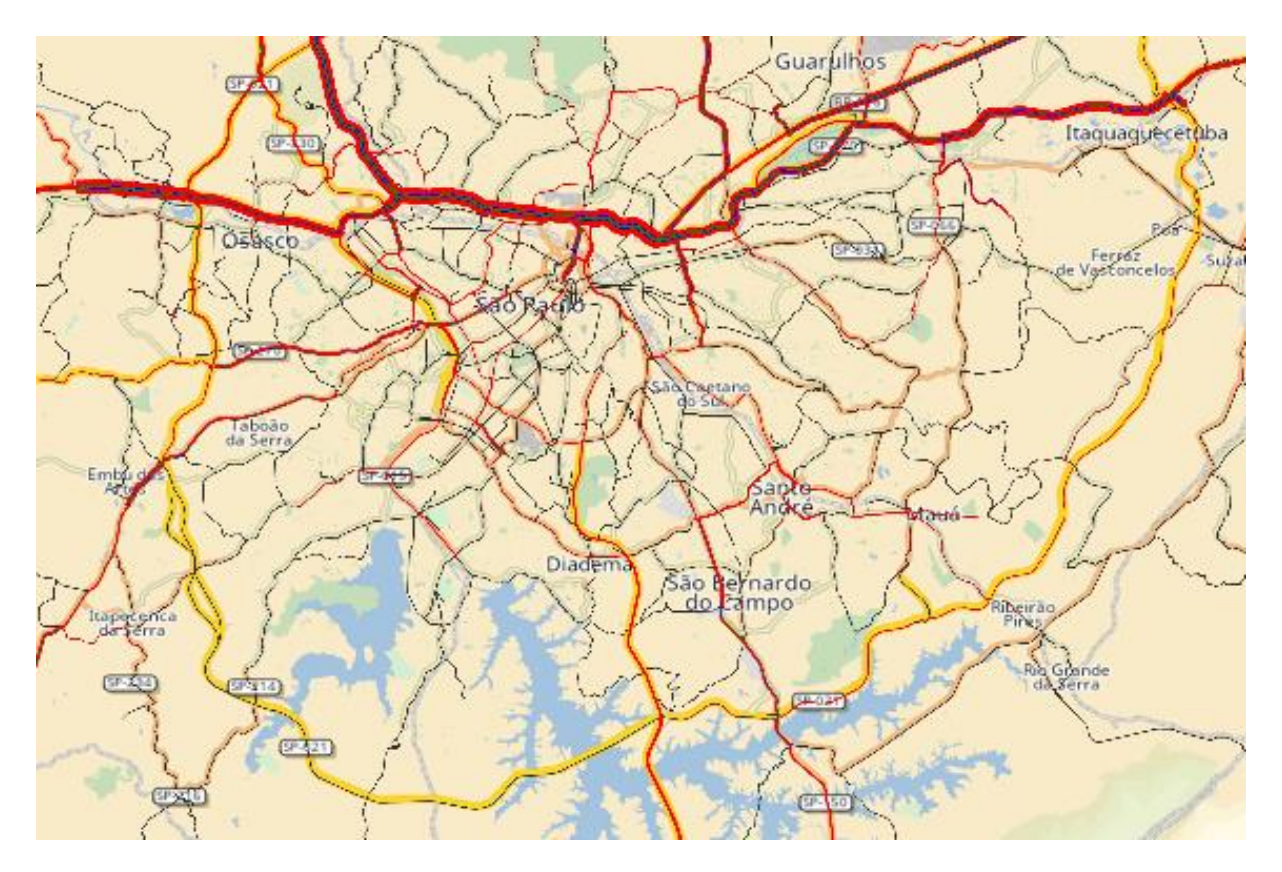


Figura 6-3: Exemplo de Viário Específico



Secretaria de Meio Ambiente, Infraestrutura e Logística